

لَيْلَةُ الْمَعْدُودٍ



دانشکده مهندسی برق
گروه کنترل

گزارش پروژه مکاترونیک:
سیستم توپ و میله

Ball and Beam System

نگارش:

محمد رضا ابراهیمی

۴۰۱۴۱۱۰۱۲

محمد امین فراهانی فرد

۴۰۱۴۱۳۰۲۹

مهندی رحیم پور

۴۰۱۴۱۲۰۵۲

استاد:

دکتر سعید شمقدری

۱۴۰۴ بهار

فهرست مطالب

5.....	مقدمه
7.....	فصل اول: تشکیلات و راهاندازی سیستم
8.....	1-1. سیستم‌های اندازه‌گیری
8.....	1-1-1. سنسور اولتراسونیک
10.....	1-1-2. سنسور MPU6050
13.....	1-1-3. پردازش تصویر
18.....	2-1. سیستم‌های آغاز به کار و خودآزمایی داخلی (BIST)
18.....	2-2-1. سیستم خودآزمایی داخلی (BIST)
22.....	3-1. سیستم محرکه موتور، گیربکس و تغذیه
23.....	3-2-1. انتخاب موتور و چالش‌های آن
23.....	3-2-2. طراحی و اصلاح ساختار گیربکس
26.....	3-2-3. ملاحظات مربوط به منبع تغذیه و درایور
26.....	3-2-4. مقایسه موتور DC و سرو، و دلایل عملکرد نهایی
27.....	فصل دوم: شناسایی سیستم و طراحی کنترل‌کننده
27.....	2-1. شناسایی با Pulse Duration
39.....	2-2. شناسایی با PWM
42.....	فصل سوم: شبیه‌سازی
42.....	1-3. مدل سازی به روش لاگرانژ
45.....	2-3. مدل خطی در متلب
46.....	1-2-3. کنترل کننده بر اساس شناسایی PWM
47.....	2-2-3. کنترل کننده بر اساس شناسایی Pulse Duration
48.....	3-2-3. کنترل کننده کسکید بر اساس شناسایی PulseDuration
49.....	3-3. مدل غیرخطی در Simscape

50	۱-۳-۳. کنترل کننده بر اساس شناسایی PWM
51	۲-۳-۳. کنترل کننده بر اساس شناسایی Pulse Duration
52	۳-۳-۳. کنترل کننده کسکید بر اساس شناسایی Pulse Duration
53	۴-۳. جمع‌بندی
54	فصل چهارم: پیاده‌سازی کنترل کننده و بررسی عملکرد
54	۱-۴. کنترل با PWM
56	۲-۴. کنترل با Pulse Duration
56	۳-۴. کنترل کننده کسکید

مقدمه

در عصر حاضر، طراحی و پیاده‌سازی سامانه‌های کنترل پیشرفته در حوزه‌های متنوعی از مهندسی، از جمله هواپما، رباتیک، خودرو و مکاترونیک، به عنوان یکی از چالش‌های بنیادین و در عین حال جذاب مطرح است. یکی از شناخته شده‌ترین و در عین حال کاربردی‌ترین مسائل آموزشی و پژوهشی در این حوزه، مسئله کنترل موقعیت توپ روی یک میله (Ball and Beam) است. این سیستم که به ظاهر ساده به نظر می‌رسد، در حقیقت نمونه‌ای کلاسیک و قابل تعمیم از یک سیستم ناپایدار خطی یا غیرخطی با پویایی‌های قابل توجه است. پیچیدگی‌های دینامیکی، تعامل بین ورودی و خروجی، و حساسیت به اغتشاشات خارجی، این سامانه را به بستری مناسب جهت آزمودن و اعتبارسنجی الگوریتم‌های کنترلی مختلف تبدیل کرده است.

هدف از این پژوهه، طراحی، پیاده‌سازی و تحلیل یک سامانه کنترلی واقعی برای سیستم Ball and Beam با تکابه ترکیب روش‌های شناسایی سیستم، مدل‌سازی فیزیکی، و طراحی کنترل کننده‌های متنوع نظری PID، کنترل کسکید و پیاده‌سازی‌های سخت‌افزاری آن بر پایه‌ی میکروکنترلر Arduino بوده است. در این راستا، ابتدا با تحلیل دقیق نیازمندی‌های سیستم، طراحی مکانیکی، الکترونیکی و نرم‌افزاری آن صورت گرفت. سنسورهای اندازه‌گیری موقعیت مانند اولتراسونیک و ژیروسکوپ (MPU6050) به عنوان ورودی‌های اصلی سامانه در نظر گرفته شدند که با به کار گیری فیلترهای نرم‌افزاری نظیر فیلتر میانه و فیلتر کالمون، دقت و پایداری داده‌های حاصل از آن‌ها به طور معناداری افزایش یافت.

در گام بعد، جهت طراحی کنترل کننده‌ی مناسب، ابتدا با استفاده از روش‌های تجربی مانند شناسایی سیگنال پاسخ پله و شناسایی بر اساس پالس PWM و Pulse Duration، مدل‌های دقیق سیستم در قالب توابع تبدیل استخراج شدند. این توابع تبدیل، به عنوان نمایندگان دینامیکی سیستم، مبنای طراحی و بهینه‌سازی کنترل کننده‌های مختلف قرار گرفتند. برای ارزیابی دقت مدل‌های شناسایی شده، تحلیل‌های فرکانسی شامل نمودارهای بود (Bode Plots) و پاسخ‌های زمانی در محیط MATLAB و Simulink انجام گرفتند.

از آنجا که سیستم مورد نظر ذاتاً ناپایدار است، طراحی یک کنترل کننده‌ی مؤثر نیازمند دقت بالا در مدل‌سازی و لحاظ کردن محدودیت‌های فیزیکی مانند محدوده حرکت میله، زمان پاسخ موتور، دامنه فرمان PWM و دقت سنسورها بود. از این‌رو، مجموعه‌ای از کنترل کننده‌ها با درجات پیچیدگی متفاوت شامل کنترلرهای PID کلاسیک، کنترل کننده‌های مبتنی بر Ziegler-Nichols، و در نهایت ساختار کنترل کسکید (Cascade) برای کنترل همزمان زاویه میله و موقعیت توپ طراحی

وارزیابی گردید. در کنار طراحی کنترل، اجرای الگوریتم‌های داخلی تست و راهاندازی اولیه سیستم (BIST) و پیاده‌سازی مراحل بوت سخت‌افزاری برای تضمین عملکرد ایمن و پایدار سیستم از دیگر نقاط قوت پروژه محسوب می‌شوند.

در نهایت، برای تحلیل کامل عملکرد کنترل کننده‌ها، مجموعه‌ای از تست‌ها در محیط شبیه‌سازی و محیط واقعی انجام گرفت و نقاط ضعف و قوت هر ساختار کنترلی به دقت مستندسازی گردید. نتایج نشان دادند که کنترل کننده‌های ساده‌تر مانند PID، هرچند در شبیه‌سازی‌ها قابل قبول به نظر می‌رسند، اما در شرایط واقعی به دلیل پیچیدگی‌های غیرخطی، اصطکاک‌ها و تاخیرات سخت‌افزاری، به خصوص در راهاندازی‌های مرتبط با موتور DC پاسخ مناسبی ارائه نمی‌دهند؛ حال آنکه ساختارهای پیشرفته‌تر نظیر کنترل کسکید، توانستند با اعمال منطق کنترل دو حلقه‌ای، پایداری و دقیق بالاتری در دنبال کردن مسیر مطلوب توب فراهم آورند.

این پروژه ضمن ثبیت مفاهیم تئوریک کنترل در یک بستر عملی، بستری مناسب برای گسترش و تحقیق در زمینه‌های پیشرفته‌تر نظیر کنترل مقاوم، کنترل تطبیقی، یا کنترل مبتنی بر یادگیری ماشین در سامانه‌های دینامیکی غیرخطی فراهم می‌آورد.

فصل اول: تشکیلات و راهاندازی سیستم

مقدمه: سیستم کنترل موقعیت توپ روی میله (Ball and Beam) به عنوان یکی از مسائل پایه‌ای در مهندسی کنترل، نیازمند ترکیب مناسبی از سخت‌افزارهای دقیق و الگوریتم‌های سنسوری و کنترلی کارآمد است. در این قسمت به بررسی جامع تشکیلات و راهاندازی سخت‌افزاری و نرم‌افزاری به کار رفته در این پروژه و تحلیل دقیق دلایل انتخاب هر یک از آنها، چالش‌ها و پرداخته می‌شود.



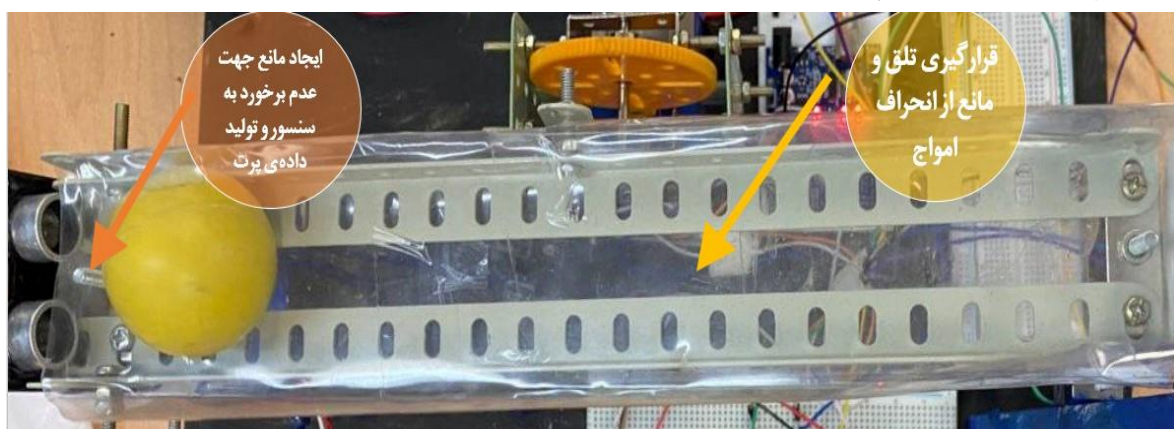
شکل ۱-۱: (نمای کلی سیستم)

۱-۱. سیستم‌های اندازه‌گیری

جهت دریافت اطلاعات قابل اتکاء و پیاده‌سازی سیستم کنترلی از ۳ سیستم اندازه‌گیری استفاده شده است که در ادامه با جزئیات آن‌ها آشنا می‌شویم.

۱-۱-۱. سنسور اولتراسونیک

برای اندازه‌گیری دقیق موقعیت توب روی میله از سنسور اولتراسونیک استفاده شده است. این انتخاب مبتنی بر مزایای متعددی از جمله دقت قابل قبول در محدوده کاری پروژه، سرعت پاسخگویی مناسب و هزینه بهینه بوده است. به منظور افزایش دقت اندازه‌گیری موقعیت توب، از یک تلق پلاستیکی نیمه شفاف در قسمت فوقانی میله استفاده شد. این تلق با تمرکز و هدایت یکنواخت امواج اولتراسونیک، موجب کاهش پراکندگی و بازتاب‌های ناخواسته امواج شد. در نتیجه، سیگنال بازگشتی از سطح توب با نویز کمتر و وضوح بالاتر دریافت گردید. این اصلاح ساده در ساختار مکانیکی، منجر به کاهش محسوس خطای اندازه‌گیری و افزایش پایداری داده‌های دریافتی شد که در نتایج شناسایی سیستم نیز بهبود قابل توجهی ایجاد کرد.



شکل ۲-۱: (اصلاحات مکانیکی برای دریافت خروجی ایده‌آل از سنسور اولتراسونیک)

اساس کار سنسور اولتراسونیک بر مبنای اصل زمان پرواز (Time-of-Flight) استوار است. در این روش، سنسور با ارسال پالس‌های صوتی با فرکانس بالا (معمولًا ۴۰ کیلوهرتز) و اندازه‌گیری زمان بازگشت اکو، فاصله تا شیء مورد نظر را محاسبه می‌کند. دقت این روش به عوامل متعددی از جمله دمای محیط، رطوبت و زاویه قرارگیری سنسور بستگی دارد که در طراحی سیستم به دقت مورد توجه قرار گرفته‌اند.

تابع `(getDistance()` هسته اصلی این سیستم اندازه‌گیری را تشکیل می‌دهد. این تابع با ایجاد یک پالس تحریک ۱۰ میکروثانیه‌ای روی پایه تریگر سنسور، فرآیند اندازه‌گیری را آغاز می‌کند. سپس مدت

زمان انتظار برای دریافت بازتاب صوت با دقت میکروثانیه اندازه‌گیری می‌شود. ثابت 0.034 که در محاسبات استفاده شده، براساس سرعت صوت در هوای معمولی (تقریباً 340 متر بر ثانیه) تعیین شده است. تقسیم نتیجه بردو به این دلیل انجام می‌شود که زمان اندازه‌گیری شده شامل مسیر رفت و برگشت امواج صوتی است.

برای بهبود کیفیت اندازه‌گیری‌ها و افزایش قابلیت اطمینان سیستم، از تابع `(getFilteredDistance()` استفاده شده است. این تابع با بهره‌گیری از تکنیک فیلتر میانه، چندین نمونه متوالی را جمع‌آوری و پردازش می‌کند. روش کار بدین صورت است که ابتدا پنج اندازه‌گیری متوالی با فاصله زمانی 5 میلی‌ثانیه از یکدیگر انجام می‌شود. سپس این مقادیر با استفاده از الگوریتم بابل سوت مرتب شده و مقدار میانه به عنوان خروجی انتخاب می‌شود. این رویکرد به ویژه در مواجهه با نویزهای لحظه‌ای و اندازه‌گیری‌های نادرست بسیار مؤثر عمل می‌کند.

```
float getDistance() {
    digitalWrite(trigPin, LOW);
    delayMicroseconds(2);
    digitalWrite(trigPin, HIGH);
    delayMicroseconds(10);
    digitalWrite(trigPin, LOW);
    unsigned long duration = pulseIn(echoPin, HIGH, 30000);
    return (duration == 0) ? -1 : duration * 0.034 / 2;
}

float getFilteredDistance() {
    const int numReadings = 5;
    float readings[numReadings];

    for (int i = 0; i < numReadings; i++) {
        readings[i] = getDistance();
        delay(5);
    }
    // bubble sort for median
    for (int i = 0; i < numReadings - 1; i++) {
        for (int j = i + 1; j < numReadings; j++) {
            if (readings[i] > readings[j]) {
                float temp = readings[i];
                readings[i] = readings[j];
                readings[j] = temp;
            }
        }
    }
}
```

```

    }
}

}

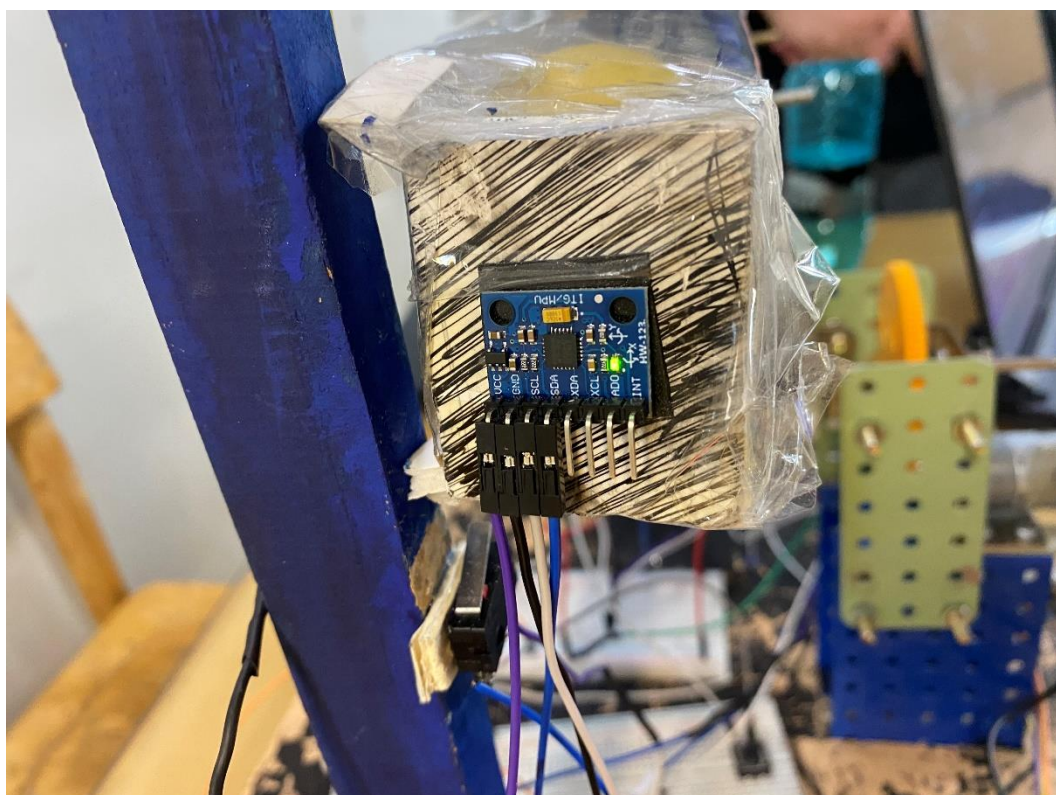
return readings[numReadings / 2];
}

```

۱-۲. سنسور MPU6050

اندازه‌گیری زاویه میله به عهده سنسور تلفیقی MPU6050 گذاشته شده که ترکیبی از ژیروسکوپ و شتاب‌سنج را در یک بسته ارائه می‌دهد. این سنسور در ساختار کنترل کسکید که در ادامه به تفصیل به آن می‌پردازیم، نقش حیاتی ایفا می‌کند، به طوری که حلقه کنترلی داخلی مسئول تنظیم زاویه میله بر اساس داده‌های این سنسور است. دقت قابل قبول در اندازه‌گیری زاویه و امکان محاسبه نرخ تغییرات زاویه‌ای از مزایای اصلی این انتخاب محسوب می‌شوند.

سنسور MPU6050 که در انتهای میله نصب شده بود، با وجود مزایای متعدد، در عمل با چالش اساسی مواجه بود که نیاز به راه حلی جامع داشت. مهم‌ترین مشکل، وجود نویز ذاتی در خروجی سنسور بود به طوری که حتی در شرایط ساکن نیز خروجی زاویه تا $5^\circ \pm 0.5^\circ$ درجه نوسان داشت. این نویز به صورت تصادفی و با توزیع گاوی در داده‌ها مشاهده می‌شد.



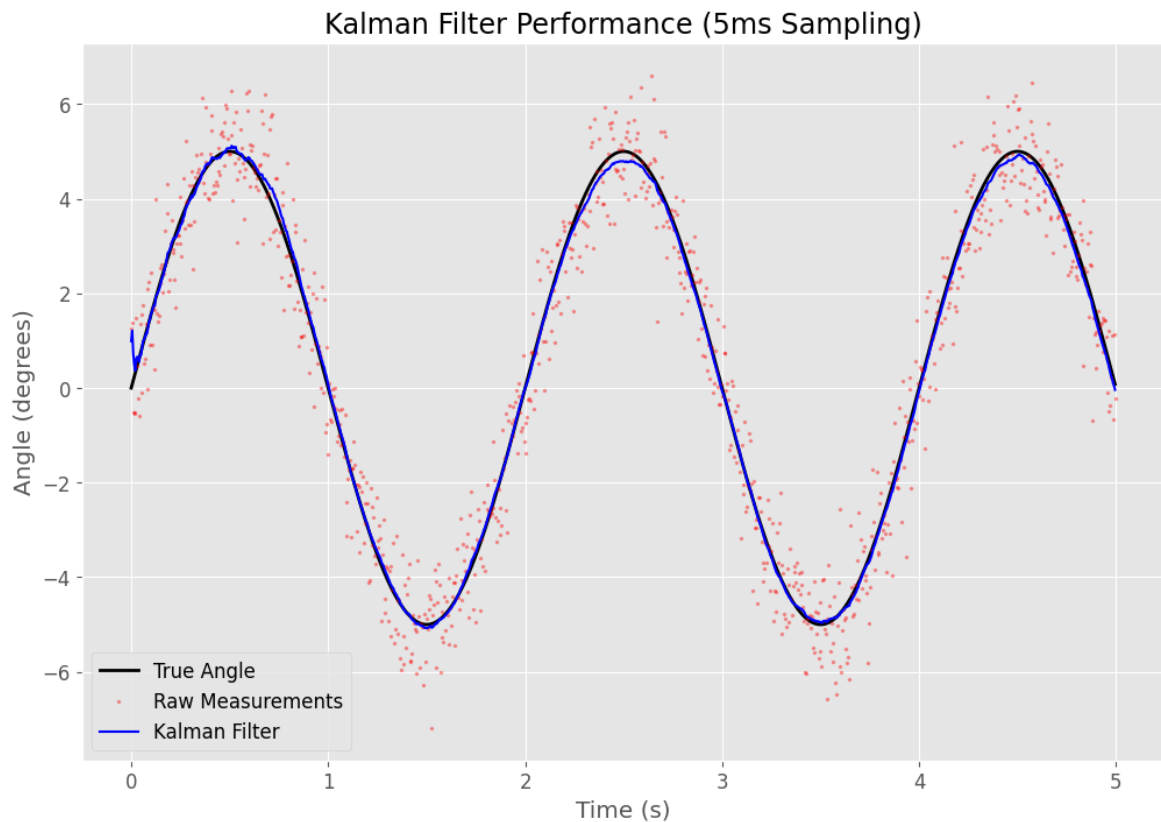
شکل ۱-۳ : (محل قرارگیری سنسور MPU6050)

فیلتر کالمن یک الگوریتم بهینه برای تخمین حالت‌های سیستم‌های دینامیکی است که بر اساس نظریه تخمین بیزین کار می‌کند. این فیلتر در سال ۱۹۶۰ توسط رودلف کالمن معرفی شد و امروزه به عنوان یکی از قدرتمندترین ابزارها در پردازش سیگنال‌های نویزی شناخته می‌شود. در طراحی این سیستم، از فیلتر کالمن برای بهبود دقت اندازه‌گیری‌های سنسور MPU6050 استفاده شده است. این فیلتر بر اساس مدلی از دینامیک میله کار می‌کند که شامل دو متغیر کلیدی است: زاویه فعلی میله (θ) و سرعت زاویه‌ای آن (ω). این دو متغیر در قالب یک بردار حالت $x = [\omega, \theta]$ بیان می‌شوند که اساس کار فیلتر کالمن را تشکیل می‌دهد. فیلتر کالمن در هر چرخه کاری خود دو مرحله اساسی را دنبال می‌کند:

در مرحله پیش‌بینی، سیستم با استفاده از اطلاعات قبلی و مدل دینامیکی میله، حالت فعلی را تخمین می‌زند. در این مرحله با فرکانس نمونه‌برداری ۲۰۰ هرتز (هر ۵ میلی‌ثانیه)، فیلتر ابتدا با استفاده از داده‌های ژیروسکوپ یک پیش‌بینی از حالت سیستم انجام می‌دهد. این پیش‌بینی بر اساس مدل فیزیکی سینماتیکی میله انجام می‌شود که در آن از جمع زاویه قبلی و حاصلضرب بازه زمانی در سرعت زاویه‌ای به دست می‌آید. همزمان، میزان عدم قطعیت این پیش‌بینی نیز محاسبه می‌شود.

مرحله به روزرسانی زمانی اتفاق می‌افتد که اندازه‌گیری جدید از سنسور دریافت می‌شود. در این مرحله، فاکتور کالمن (K) محاسبه می‌شود که در واقع وزن بهینه‌ای است بین اعتماد به پیش‌بینی مدل و اندازه‌گیری سنسور. این فاکتور به صورت دینامیکی و بر اساس میزان عدم قطعیت هر یک از این دو منبع محاسبه می‌شود. در نهایت، تخمین نهایی حالت سیستم و عدم قطعیت آن به روزرسانی پارامترهای اصلی فیلتر کالمن در این پروژه نیز به دقت تنظیم شده‌اند. ماتریس Q که بیانگر نویز فرایند است، برای زاویه مقدار 0.001 و برای سرعت زاویه‌ای مقدار 0.0003 در نظر گرفته شده است. این اختلاف مقادیر نشان‌دهنده آن است که سرعت زاویه‌ای در سیستم ما از نویز بیشتری برخوردار است. ماتریس R نیز که نشان‌دهنده نویز اندازه‌گیری است، مقدار 0.00001 است. این تنظیمات بیانگر آن است که به اندازه‌گیری‌های ژیروسکوپ اعتماد بیشتری داریم.

نمودار زیر نشان می‌دهد که فیلتر کالمن توانسته است معادل $84/8\%$ کاهش نویز در این سیستم از خود نشان دهد. همچنین دقت اندازه‌گیری زاویه از $0/8 \pm 0/02$ درجه به $0/02 \pm 0/002$ درجه رسیده که بهبودی چشمگیر محسوب می‌شود. همچنین سیستم در برابر لرزش‌ها و اغتشاشات مکانیکی نیز مقاومت بہتری از خود نشان می‌دهد.



شكل ٤-١ : (عملکرد فیلتر کالمن با سمپلینگ ٢٠٠ هرتز)

MPU6050 mpu;

```
class KalmanFilter {
public:
    float Q_angle = 0.001;
    float Q_bias = 0.003;
    float R_measure = 0.03;
    float angle = 0;
    float bias = 0;
    float P[2][2] = { {0, 0}, {0, 0} };

    float getAngle(float newAngle, float newRate, float dt) {
        angle += dt * (newRate - bias);
        P[0][0] += dt * (dt * P[1][1] - P[0][1] - P[1][0] + Q_angle);
        P[0][1] -= dt * P[1][1];
        P[1][0] -= dt * P[1][1];
        P[1][1] += Q_bias * dt;

        float S = P[0][0] + R_measure;
```

```

float K[2];
K[0] = P[0][0]/S;
K[1] = P[1][0]/S;
float y = newAngle - angle;
angle += K[0] * y;
bias += K[1] * y;

float P00_temp = P[0][0];
float P01_temp = P[0][1];

P[0][0] -= K[0] * P00_temp;
P[0][1] -= K[0] * P01_temp;
P[1][0] -= K[1] * P00_temp;
P[1][1] -= K[1] * P01_temp;

return angle;
};

};

KalmanFilter kalmanY;

```

۱-۳. پردازش تصویر

این سیستم با بهره‌گیری از تکنیک‌های پیشرفته پردازش تصویر، موقعیت دقیق توپ روی میله را در لحظه تشخیص می‌دهد. فرآیند کار با دریافت تصویر از وبکم آغاز شده و پس از مراحل پردازشی مختلف، خروجی دقیقی به سیستم کنترل ارسال می‌شود.

در مرحله اول، تصویر دریافتی از فضای رنگی RGB به HSV تبدیل می‌شود. این تبدیل هوشمندانه به سیستم اجازه می‌دهد بدون تأثیرپذیری از تغییرات نور محیط، رنگ توپ را به درستی تشخیص دهد. برای شناسایی توپ زرد، محدوده مشخصی از رنگ (Hue) بین ۱۵ تا ۳۵، غلظت رنگ (Saturation) بین ۱۰۰ تا ۲۵۵ و روشنایی (Value) بین ۱۰۰ تا ۲۵۵) تعريف شده است.

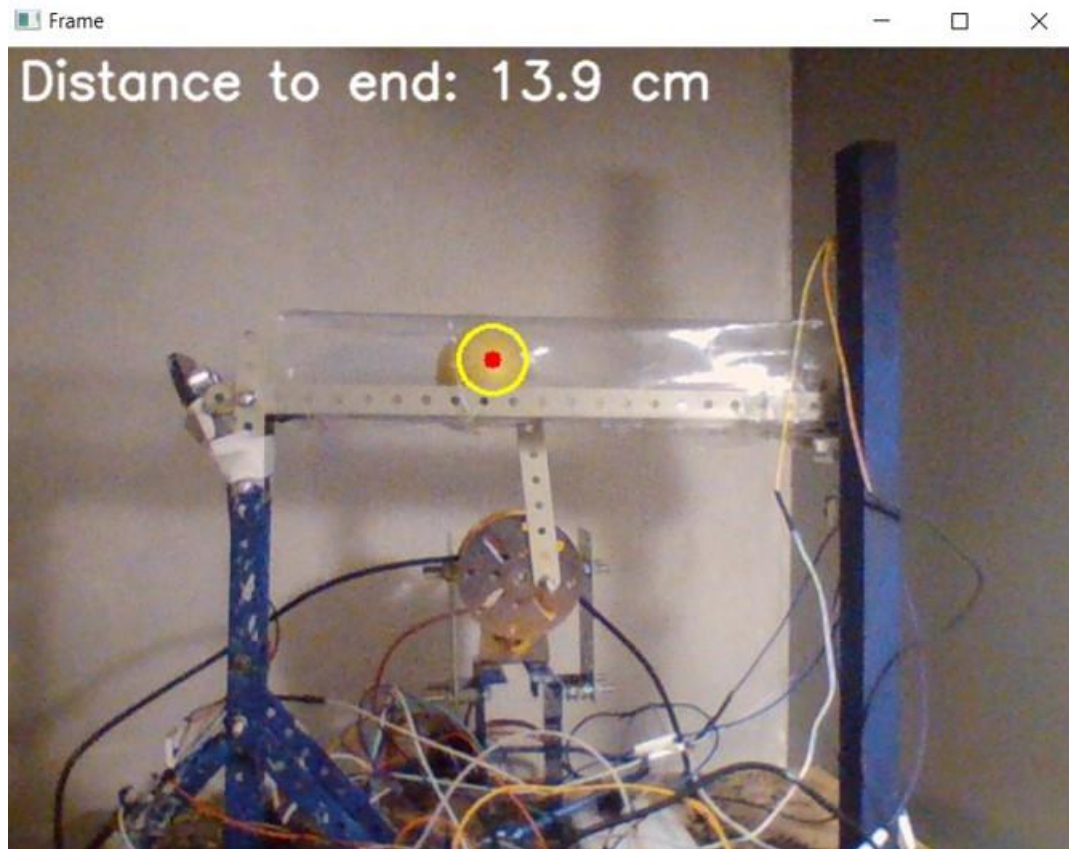
سپس تصویر وارد مرحله پردازش مورفولوژیکی می‌شود. در این بخش با اعمال عملیات Opening (حذف نویز و پرکردن فضاهای خالی) و Closing (ترکیب پرکردن حفره‌ها و حذف بر جستگی‌های کوچک)، ناحیه مربوط به توپ به شکل دقیق‌تری جدا می‌شود. این عملیات با استفاده از یک ماتریس ۵ در ۵ پیکسلی انجام می‌پذیرد.

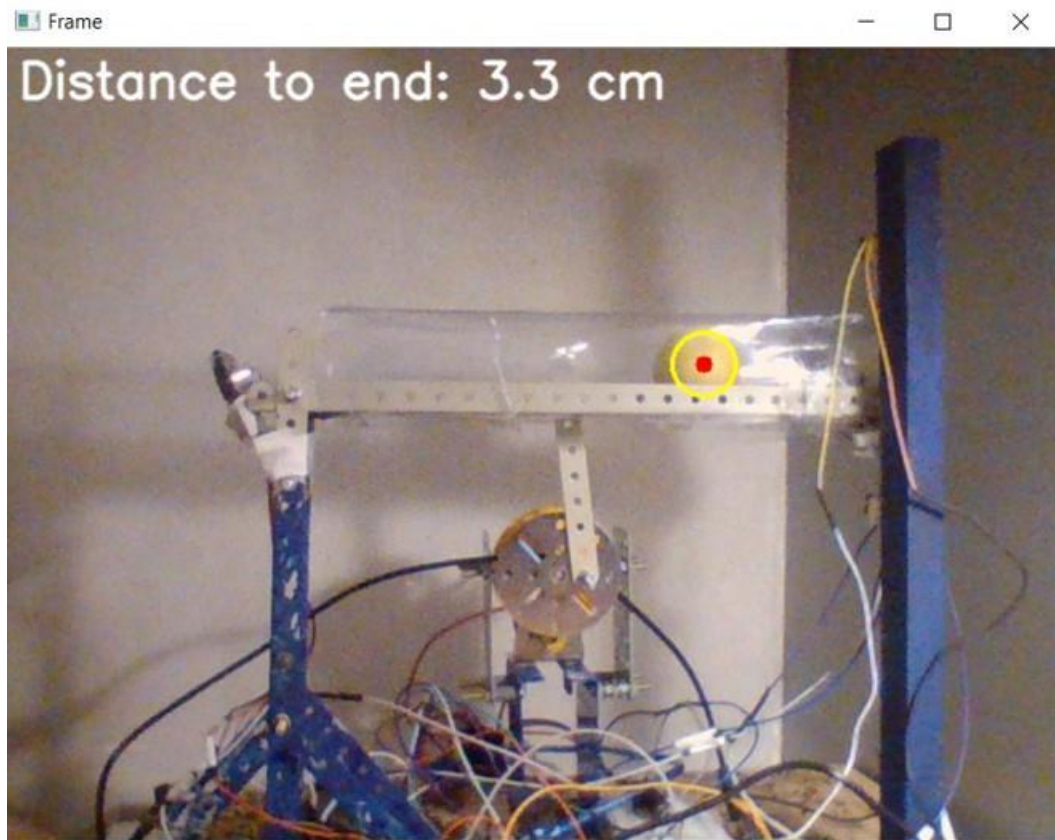
در مرحله بعد، سیستم با استفاده از الگوریتم تشخیص کانتور، تمام نواحی پیوسته با قیمانده را

شناسایی می‌کند. از بین این نواحی، بزرگترین ناحیه به عنوان توپ انتخاب می‌شود. برای افزایش دققت، شرط حداقل شعاع ۱۰ پیکسل برای توپ در نظر گرفته شده تا از تشخیص‌های نادرست جلوگیری شود.

برای تعیین دقیق مرکز توپ، از روش Minimum Enclosing Circle استفاده می‌شود که کوچکترین دایره محاطی حول توپ را محاسبه می‌کند. سپس با استفاده از نقاط کالیبره شده (۰ و ۴۰ سانتیمتری روی میله)، موقعیت پیکسلی توپ به مقدار واقعی بر حسب سانتیمتر تبدیل می‌شود. در نهایت، برای کاهش نوسانات اندازه‌گیری، از فیلتر میانگین متحرک استفاده می‌شود که در آن هر اندازه‌گیری جدید با وزن ۵۰ درصد و تاریخچه قبلی با وزن ۵۰ درصد در محاسبات لحاظ می‌شود. این روش باعث می‌شود خروجی سیستم نرم‌ترو پایدارتر باشد.

داده‌های نهایی با دققت ۱/۰ سانتیمتر و با نرخ ۲۰ فریم بر ثانیه به سیستم کنترل ارسال می‌شوند. این سرعت و دققت برای کنترل بهینه سیستم بال‌اند بیم کاملاً مناسب است. کل این فرآیند ترکیبی هوشمندانه از پردازش رنگ، عملیات مورفولوژیکی، هندسه تصویر و فیلترهای دیجیتال است که در کنار هم سیستمی دقیق و پایدار برای ردیابی توپ ایجاد کرده‌اند.





شکل ۵-۱ : (عملکرد پردازش تصویر در نواحی مختلف)

```
import cv2
import numpy as np
import serial
import time

# Initialize serial communication (adjust COM port as needed)
ser = serial.Serial('COM6', 9600) # Adjust COM port as needed
time.sleep(2) # Wait for serial port to initialize

# Open webcam
cap = cv2.VideoCapture(0)

# Define HSV color range for the yellow ball (more precise range)
lower_yellow = np.array([15, 100, 100]) # Lower bound of yellow hue
upper_yellow = np.array([35, 255, 255]) # Upper bound of yellow hue

# Calibration parameters (to be calibrated precisely)
x_pixel_0cm = 100 # Pixel position at 0cm (calibrate)
```

```

x_pixel_40cm = 600 # Pixel position at 40cm (calibrate)
pixels_per_cm = (x_pixel_40cm - x_pixel_0cm) / 40.0

# Beam parameters
beam_length_cm = 30 # Length of the beam in cm
beam_height_pixels = 50 # Height of the beam in pixels (for visualization)

# Offset calibration (adjust based on setup)
distance_offset_cm = 3.2 # Offset to compensate for camera position

# Moving average filter for distance smoothing
alpha = 0.5 # Smoothing factor (0.0 - 1.0)
smoothed_distance = None

try:
    while True:
        ret, frame = cap.read()
        if not ret:
            break

        # Convert to HSV color space
        hsv = cv2.cvtColor(frame, cv2.COLOR_BGR2HSV)

        # Threshold for the yellow ball
        mask_yellow = cv2.inRange(hsv, lower_yellow, upper_yellow)
        mask_yellow = cv2.morphologyEx(mask_yellow, cv2.MORPH_OPEN, np.ones((5, 5),
np.uint8))
        mask_yellow = cv2.morphologyEx(mask_yellow, cv2.MORPH_CLOSE, np.ones((5, 5),
np.uint8))

        # Find contours of the yellow ball
        contours_yellow, _ = cv2.findContours(mask_yellow, cv2.RETR_EXTERNAL,
cv2.CHAIN_APPROX_SIMPLE)
        if contours_yellow:
            # Find the largest contour (assuming it's the ball)
            largest_contour = max(contours_yellow, key=cv2.contourArea)
            (x, y), radius = cv2.minEnclosingCircle(largest_contour)
            if radius > 10: # Filter out small contours (noise)
                # Draw yellow circle around the ball

```

```

cv2.circle(frame, (int(x), int(y)), int(radius), (0, 255, 255), 2)
cv2.circle(frame, (int(x), int(y)), 5, (0, 0, 255), -1) # Red dot at center

# Calculate ball distance from the camera reference point
ball_x_cm = (x - x_pixel_0cm) / pixels_per_cm
distance_to_end_cm = beam_length_cm - ball_x_cm + distance_offset_cm

# Apply smoothing to reduce noise
if smoothed_distance is None:
    smoothed_distance = distance_to_end_cm
else:
    smoothed_distance = alpha * distance_to_end_cm + (1 - alpha) * smoothed_distance

# Display the distance on the frame
font = cv2.FONT_HERSHEY_SIMPLEX
cv2.putText(frame, f'Distance to end: {smoothed_distance:.1f} cm', (10, 30), font, 1, (255, 255, 255), 2, cv2.LINE_AA)

# Send data to Arduino
data = f'{smoothed_distance:.1f}\n'
ser.write(data.encode())
time.sleep(0.05)

# Draw beam for visualization
cv2.rectangle(frame, (x_pixel_0cm, 100), (x_pixel_0cm + int(beam_length_cm * pixels_per_cm), 100 + beam_height_pixels), (255, 0, 0), 2)

# Display the resulting frame
cv2.imshow("Frame", frame)

# Exit on ESC key press
if cv2.waitKey(1) == 27: # ESC key
    break

except KeyboardInterrupt:
    print("Program interrupted by user.")

finally:
    # Release resources

```

```
cap.release()
cv2.destroyAllWindows()
ser.close()
```

۲-۱. سیستم‌های آغاز به کار و خودآزمایی داخلی (BIST)

سیستم کنترل طراحی شده از یک رویکرد ساختاریافته و ایمن برای راهاندازی و عملیات استفاده می‌کند. در این قسمت به تشریح دو فرآیند حیاتی سیستم می‌پردازیم: مرحله آغاز به کار و سیستم خودآزمایی داخلی (BIST). این مکانیزم‌ها به منظور تضمین عملکرد مطمئن و پایدار سیستم قبل از ورود به حالت کنترل اصلی طراحی شده‌اند. در ادامه، جزیيات هر یک از این مراحل شامل ترتیب عملیات، منطق کنترلی و معیارهای سنجش سلامت سیستم به صورت کامل شرح داده خواهد شد. این رویکرد امکان شناسایی و پیشگیری از خطاهای احتمالی را فراهم می‌سازد و بستری امن برای انجام آزمایش‌های کنترل فراهم می‌نماید.

۱-۲-۱. سیستم آغاز به کار

در این پروژه، سیستم Ball and Beam پس از روشن شدن به حالت Initialize می‌رود. در این وضعیت، سیستم در حالت پایدار قرار دارد و هیچ کنترلی روی میله اعمال نمی‌شود تا زمانی که کاربر دکمه Start را فشار دهد.

الگوریتم نرم‌افزاری:

- ۱- پس از روشن شدن، وضعیت سیستم به حالت Initialize می‌رود.
- ۲- در این حالت، موقعیت اولیه زاویه از MPU6050 خوانده می‌شود و اگر به شکل پایدار نباشد با اعمال الگوریتم کنترل میله به زاویه تعادل (۰ درجه) می‌رود.
- ۳- تا زمانی که دکمه Start فشرده نشود، سیستم از حالت Initialize خارج نمی‌شود.
- ۴- با فشردن دکمه Start، سیستم وارد حلقه کنترل اصلی می‌شود.

```
void initializeSystem() {
    // تنظیم اولیه سنسورها.
    Serial.println("System Initializing...");
    // کالیبراسیون اولیه MPU6050
    mpu.initialize();
```

```

if(!mpu.testConnection()) {
    Serial.println("MPU6050 Initialization Failed!");
    while(1); // در صورت خطا
}

// تنظیم موتور در حالت خنثی. 3
digitalWrite(IN1, LOW);
digitalWrite(IN2, LOW);
analogWrite(PWM, 0);

// خواندن زاویه اولیه و تنظیم به صفر. 4
float initialAngle = kalmanY.getAngle(0, 0, 0.01);
while(abs(initialAngle) > 0.5) { // تعادل
    حلقه تارسیدن به تعادل
    anglePIDSetpoint = 0;
    angleInput = initialAngle;
    anglePID.Compute();
    controlMotor(millis());
}

initialAngle = kalmanY.getAngle(0, 0, 0.01);
delay(10);
}

// انتظار برای فشرده شدن دکمه. 5
Serial.println("System Ready. Press Start Button...");
while(digitalRead(START_BUTTON_PIN) == HIGH); // انتظار
Serial.println("Starting Control System...");
}

```

۲-۲-۱. سیستم خودآزمایی داخلی (BIST)

برای اطمینان از سلامت عملکرد سیستم قبل از ورود به کنترل، یک روتین BIST نیز طراحی شده که شامل تست سنسورها و موتور جهت حرکت امن و مطمئن سیستم می‌باشد. روال تست خودکار:

- میله در تمام فرآیند کنترل باید در یک زاویه محدود جایه‌جا شود. در انتهای وابتدای این بازه دو لیمیت سوییچ قرار دارند، با بالا و پایین شدن میله در این بازه زاویه‌ای و تحریک لیمیت‌سوییچ‌ها و بررسی مقدار خروجی سنسور MPU6050 به شکل همزمان از سلامت سنسور مطمئن می‌شویم و اگر خطا قابل توجه باشد، سیستم متوقف می‌شود. مثلاً فرض کنید در زمان برخورد میله به لیمیت سوییچ،

سنسور به ما زاویه‌ای بیشتر از ۱۲ درجه نشان دهد، این رخداد می‌تواند نشان از وجود مشکل در سنسور **MPU6050** باشد.

۲- میله با اعمال پالس‌های مشخص به موتور توپ را در نواحی مختلف تکان می‌دهد و دیتای خروجی سنسور اولتراسونیک با دیتای خروجی پردازش تصویر مقایسه می‌شود و اگر اختلاف خروجی دو سیستم اندازه‌گیری قابل توجه باشد، سیستم متوقف می‌شود تا سیستم معیوب شناسایی و رفع ایراد شود.

۳- اگر با اعمال PWM‌های مشخص تغییرات زاویه‌ای که **MPU6050** ناچیز و نزدیک صفر باشد، به معنای کار نکردن / استال رفتن موتور تلقی می‌شود و سیستم متوقف می‌شود.

```
bool performBIST() {  
    Serial.println("Running Built-In Self Test...");  
  
    // 1. تست سنسور سوییچ‌ها  
    Serial.println("Testing MPU6050 with Limit Switches...");  
    moveMotorToLimit(HIGH); // حرکت به سمت لیمیت سوییچ بالا  
    float angleAtLimit = kalmanY.getAngle(0, 0, 0.01);  
    if(abs(angleAtLimit - LIMIT_SWITCH_ANGLE) > 1.0) {  
        Serial.println("MPU6050 Test Failed!");  
        return false;  
    }  
  
    moveMotorToLimit(LOW); // حرکت به سمت لیمیت سوییچ پایین  
    angleAtLimit = kalmanY.getAngle(0, 0, 0.01);  
    if(abs(angleAtLimit + LIMIT_SWITCH_ANGLE) > 1.0) {  
        Serial.println("MPU6050 Test Failed!");  
        return false;  
    }  
  
    // 2. تست هماهنگی سنسورها  
    Serial.println("Testing Sensor Consistency...");  
    for(int i = 0; i < 5; i++) {  
        float usDistance = getFilteredDistance();  
        float camDistance = getCameraDistance(); // تابع فرضی پردازش تصویر  
        if(abs(usDistance - camDistance) > 2.0) { // اختلاف مجاز 2 cm  
            Serial.println("Sensor Consistency Test Failed!");  
            return false;  
        }  
    }  
}
```

```

moveMotorRandom(); // حرکت تصادفی برای تست
delay(500);
}

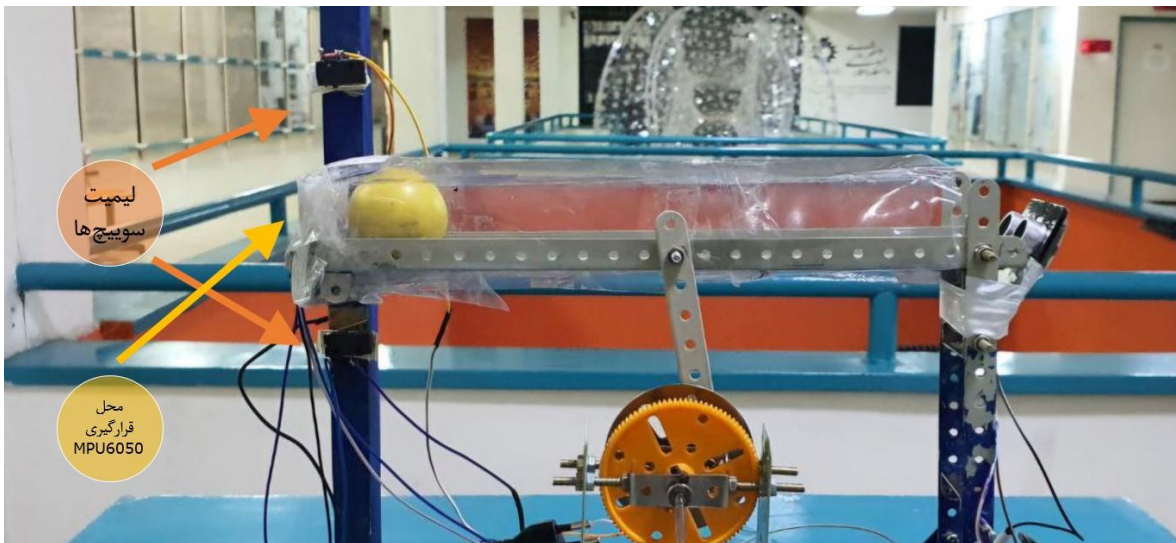
// تست عملکرد موتور 3.
Serial.println("Testing Motor Functionality...");
unsigned long startTime = millis();
float initialAngle = kalmanY.getAngle(0, 0, 0.01);
analogWrite(PWM, 150); // ثابت PWM اعمال
digitalWrite(IN1, HIGH);
digitalWrite(IN2, LOW);
delay(500); // حرکت به مدت 500ms

float angleChange = kalmanY.getAngle(0, 0, 0.01) - initialAngle;
if(abs(angleChange) < 0.5) { // 0.5 درجه حداقل
    Serial.println("Motor Test Failed!");
    return false;
}

// بازگشت به موقعیت اولیه 4.
returnToZeroPosition();
Serial.println("All BIST Tests Passed!");
return true;
}

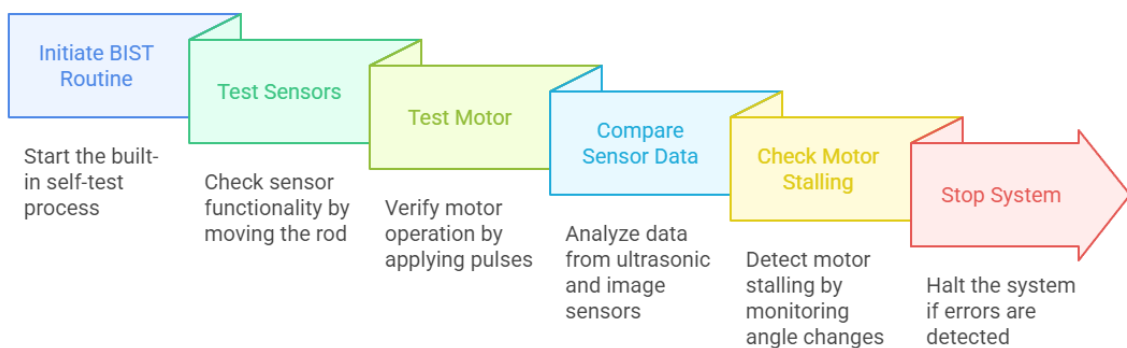
// تابع کمکی برای حرکت به سمت لیمیت سوییچ
void moveMotorToLimit(bool direction) {
    digitalWrite(IN1, direction);
    digitalWrite(IN2, !direction);
    analogWrite(PWM, 100);
    while(digitalRead(direction ? UPPER_LIMIT_PIN : LOWER_LIMIT_PIN) != LOW) {
        // انتظار برای فعال شدن لیمیت سوییچ
        if(millis() - startTime > 5000) { // زمان بندی اضطراری
            Serial.println("Limit Switch Timeout!");
            break;
        }
    }
    analogWrite(PWM, 0);
}

```



شکل ۱-۶ : (محل قرارگیری لیمیت سوییچ ها در انتهای میله اصلی)

BIST Routine for System Health



شکل ۱-۷ : (روند شماتیک انجام روتین BIST

۳-۱. سیستم محرکه موتور، گیربکس و تغذیه

در طراحی و پیاده‌سازی سامانه‌های کنترلی نظری سیستم Ball and Beam، انتخاب و پیاده‌سازی سیستم محرکه، گیربکس و منبع تغذیه از جمله مؤلفه‌هایی است که به شدت بر عملکرد کلی، پاسخ دینامیکی، کیفیت کنترل، و پایداری سیستم اثرگذار است. در این پژوهه، بخش محرکه شامل موتور، درایور، گیربکس، و مسیر انتقال توان مکانیکی است که پس از چندین مرحله طراحی، آزمایش، و بازطراحی، به ساختار نهایی رسید. انتخاب این اجزا به دلیل محدودیت‌های عملی، کمبود مستندات

دقیق در بازار داخلی، و نیاز به پاسخ سریع و دقیق، با چالش‌های فراوانی همراه بود که در ادامه به تفصیل بررسی می‌شود.

۱-۳-۱. انتخاب موتور و چالش‌های آن

در مراحل ابتدایی طراحی، موتور انتخاب شده یک موتور DC با مشخصات زیر بود:

- مدل: 25GA370
- سرعت بی‌باری: ۶۰۰ دور در دقیقه
- ولتاژ: ۱۲ ولت

دلیل اولیه انتخاب موتور DC نسبت به گزینه‌هایی نظیر موتورهای سروو، مربوط به پهناهی باند کنترلی بالاتر و امکان کنترل پیوسته و دقیق سرعت و موقعیت از طریق مدولاسیون پهناهی پالس (PWM) بود. برخلاف سرووهایی که حلقه کنترلی داخلی آن‌ها مختص کنترل زاویه بوده و عملایک واسط انتزاعی بین فرمان و خروجی ایجاد می‌کنند، موتورهای DC این امکان را می‌دهند تا مستقیماً بر روی جریان، سرعت و درنهایت موقعیت خروجی کنترل دقیق اعمال گردد؛ در نتیجه، در مراحل طراحی اولیه که کنترل دقیق‌تری مدنظر بود، گزینه DC به عنوان انتخاب اول مطرح شد.

با این حال، در مراحل پیاده‌سازی و تست میدانی، مشکلات جدی‌ای در ارتباط با این انتخاب نمایان شد. به علت سرعت نسبتاً بالای موتور (600 RPM) و نبود گیربکس داخلی مؤثر (موتور تنها دارای یک گیربکس ساده و نسبتاً ضعیف داخلی بود)، در مقادیر پایین PWM، موتور در ناحیه استال (Stall) قرار می‌گرفت. این مسئله باعث می‌شد که در مقاطع آغازین حرکت یا زمان‌هایی که کنترل کننده تلاش می‌کرد نیروی اصلاحی ضعیفی وارد کند، موتور عملایی حرکت مانده یا واکنش شدیدی نشان دهد که منجر به ایجاد نوسانات یا تأخیرهای خطناک در پاسخ کنترلی می‌شد. این موضوع به‌ویژه در سیستم‌هایی مانند Ball and Beam که کنترل تعادلی لحظه‌ای حیاتی است، به‌شدت مخرب ظاهر شد.

۱-۳-۲. طراحی و اصلاح ساختار گیربکس

برای جبران این مشکل، نیاز به طراحی یک ساختار گیربکس مکانیکی با نسبت کاهش بالا احساس شد. طراحی اصولی و تکنیکال بر اساس مبانی طراحی گیربکس به علت نیاز به اطلاعات دقیق موتور وضعیت موتورهای موجود در سطح بازار امکان‌پذیر نبود و ناچاراً فرآیند طراحی منجر به آزمون و خطا شد. در ابتدا، یک جفت چرخ دنده با نسبت انتقال ۱:۱۹ در مسیر خروجی موتور قرار

داده شد. با وجود بهبود محسوس در پاسخ دهی موتور، همچنان سرعت نهایی مجموعه برای نیازهای کنترلی سیستم بیش از حد زیاد بود. به همین جهت، در مرحله‌ی دوم، گیربکس به نسبت ۱:۵۷ افزایش یافت تا گشتاور بهبود یابد و در عین حال پاسخ سریع تر و نرم‌تری حاصل شود. با این وجود، همچنان مشخص شد که دینامیک سیستم، به ویژه در کنترل‌های ناحیه خطی اطراف نقطه تعادل، از دقت لازم برخوردار نیست. در نهایت، پس از بررسی‌های میدانی و چندین تست تجربی، نسبت انتقال نهایی به ۱:۹۲ افزایش یافت. این مقدار نه تنها توانست سرعت سیستم را به ناحیه قابل کنترل کاهش دهد، بلکه استال شدن موتور در مقادیر پایین PWM را تا حد زیادی کاهش داد (هرچند هنوز PWM های زیر ۹۰ رفتار مطلوبی ندارند). در خصوص استفاده از گیربکس‌های حلزونی (Worm Gear)، علی‌رغم مزایای آن‌ها در فراهم‌سازی نسبت انتقال بالا و توانایی قفل شدگی در بارهای ساکن، چند عامل فنی و اجرایی مانع از پیاده‌سازی این نوع گیربکس در سیستم شد. گیربکس‌های حلزونی به دلیل اصطکاک لغزشی بالا، از بازده کمتری نسبت به گیربکس‌های دندانه‌دار بهره‌مند هستند که در کاربردهای نیازمند پاسخ سریع، یک نقطه ضعف محسوب می‌شود. از طرفی در حالی که قفل شدگی در بسیاری از کاربردها مفید است، در سیستم Ball and Beam، نیاز به حرکت برگشتی سریع و تغییرات لحظه‌ای جهت، این ویژگی را به یک نقطه منفی تبدیل می‌کرد

نکته حائز اهمیت آن است که در جریان این اصلاحات، محل نصب موتور نیز تغییر یافت. در طراحی اولیه، موتور در انتهای میله نصب شده بود. اما به دلیل نیاز به کاهش ممان اینرسی و کاهش بار استاتیکی روی شفت و چرخدنده‌ها، در طراحی نهایی، موتور به سمت مرکز میله منتقل شد. این جابه‌جایی منجر به بهبود بازده مکانیکی سیستم، کاهش بار بر بلبرینگ‌ها و همچنین افزایش پاسخ‌پذیری مجموعه محرکه در نواحی بحرانی شد.



شکل ۸-۱: (چرخدنده‌های ۱:۵۷ - ۱:۹۲ - ۱:۱۹ به ترتیب از بالا به پایین)



شکل ۹-۱ : (تفییر گیربکس ۱:۵۷ به ۱:۹۲)

۱-۳-۳. ملاحظات مربوط به منبع تغذیه و درایور

منبع تغذیه انتخابی برای راه اندازی موتور، یک منبع ۱۲ ولت، ۳ آمپر با قابلیت تحمل بارهای لحظه‌ای بالا بود. این مقدار جریان به صورت تجربی و بر اساس نیاز گشتوار موتور در شرایط حداکثری تعیین شد و در تمام مراحل تست توانست ولتاژ باثباتی را به موتور ارائه دهد. برای کنترل سیگنال توان موتور، درایور L298N به کار گرفته شد که با وجود محدودیت‌هایی از جمله افت ولتاژ داخلی و محدودیت جریان، در مقیاس پروژه‌های دانشگاهی انتخابی قابل قبول و در دسترس بود. در مسیر خروجی درایور به موتور، از یک کلید قطع و وصل مکانیکی استفاده شد تا امکان قطع اضطراری جریان یا تست‌های مرحله‌ای فراهم گردد.

۱-۴-۳. مقایسه موتور DC و سروو، و دلایل عملکرد نهایی

یکی از پرسش‌های اساسی در جریان پروژه، این بود که آیا انتخاب موتور DC با وجود آزادی کنترلی بیشتر، در عمل مناسب‌تر از سروو بوده یا خیر. در بررسی‌های انجام شده، اگرچه استفاده از موتور DC به ما امکان داد تا الگوریتم‌های کنترلی با دقت و انعطاف بیشتر (مانند کنترل کسکید و کنترل مبتنی بر MPU6050 برای حلقه درونی زاویه) را پیاده‌سازی کنیم، اما در عمل مشاهده شد که نبود حلقه داخلی بسته و آماده مانند سروو موتور باعث شد اجرای الگوریتم‌های کنترل زاویه به صورت نرم‌افزاری با تکیه بر (MPU6050) دقت پایین‌تری داشته باشد. به عبارتی، کنترل نرم‌افزاری زاویه موتور به عنوان حلقه درونی، علی‌رغم استفاده از سنسور دقیق، نتوانست به پایداری و دقت ذاتی حلقه فیدبک داخلی سروو برسد. همچنین چالش‌های مربوط به طراحی گیربکس نیز این نظر را تشدید می‌کند. بنابراین می‌توان گفت که یکی از علل احتمالی در ناپایداری یا عملکرد ضعیف برخی از کنترل کننده‌ها، همین پیچیدگی‌های ناشی از استفاده از موتور DC بوده است. تجربه پروژه حاضر نشان داد که انتخاب مؤلفه‌های سخت‌افزاری—به ویژه موتور، گیربکس و منبع تغذیه—نه تنها باید بر اساس معیارهای تئوریک صورت گیرد، بلکه در عمل، آزمون و خطا و تجربه‌های میدانی نقش تعیین‌کننده‌ای در رسیدن به طراحی بهینه دارند. محدودیت دسترسی به دیتا شیت‌های معتبر، عدم شفافیت در مشخصات فنی موتورها در بازار داخلی، و پیچیدگی‌های تعامل اجزای الکترومکانیکی، ما را وادار کرد تا ساختاری پویا و قابل بازطراحی در پیش بگیریم. نتیجه نهایی، اگرچه با چالش‌های متعدد همراه بود، اما به ساختاری نسبتاً پایدار، قابل تکرار، و تطبیق‌پذیر برای توسعه‌های بعدی منجر شد.

فصل دوم: شناسایی سیستم و طراحی کنترل کننده

مقدمه: در این فصل، با هدف مدل سازی دقیق دینامیک سیستم Ball and Beam ، فرآیند شناسایی سیستم با استفاده از داده های تجربی طی دو روش PWM و Pulse Duration انجام شده است. داده های لازم با استفاده از سنسور اولتراسونیک و زاویه سنج MPU6050 استخراج گردیده و سپس با بهره گیری از جعبه ابزار System Identification در نرم افزار MATLAB توابع تبدیل سیستم در حالات مختلف تخمین زده شده اند. برای ارزیابی دقت مدل ها، تحلیل پاسخ فرکانسی به کار گرفته شده و مرتبه های مختلف مدل ها مورد بررسی قرار گرفته اند. همچنین در ادامه، با تکیه بر مدل های به دست آمده، کنترل کننده های PID و ساختار کنترلی کسکید طراحی و تحلیل شده اند.

۱-۲. شناسایی با Pulse Duration

در این مرحله ما در ابتدا یک فایل از دیتاهای سمپل آماده می کنیم تا بتوانیم عمل شناسایی را برای سیستم با استفاده از مطلب انجام دهیم، برای این کار در Arduino ide یک کد می نویسیم تا با استفاده از بتوانیم دیتا هارا برای شناسایی سیستم و پیدا کردن تابع تبدیل ان بدست اوریم . کد در Arduino ide بصورت زیر می باشد:

```
const int IN1 = 7;
const int IN2 = 8;
const int PWM = 9;
const int trigPin = 10;
const int echoPin = 11;

int pwmLevels[] = {-120, 120, 120, 120, -120, -120, 120, -120, 120};
int currentPWMIndex = 0;
bool pulseActive = false;

unsigned long lastUpdate = 0;
unsigned long pulseStartTime = 0;

const int numDurations = 4;
```

```

unsigned long pulseDurations[] = {50, 100, 650, 300, 120, 750, 70, 400, 500, 60, 600, 150, 700,
                                  200, 900};

unsigned long waitDurations[] = {100, 200, 300, 500, 700, 1000};
int durationIndex = 0;

void setup() {
    Serial.begin(9600);

    pinMode(IN1, OUTPUT);
    pinMode(IN2, OUTPUT);
    pinMode(PWM, OUTPUT);
    pinMode(trigPin, OUTPUT);
    pinMode(echoPin, INPUT);
}

void loop() {
    unsigned long now = millis();

    unsigned long pulseDuration = pulseDurations[durationIndex];
    unsigned long waitDuration = waitDurations[durationIndex];

    if (!pulseActive && (now - lastUpdate >= waitDuration)) {
        int pwm = pwmLevels[currentPWMIndex];
        applyPWM(pwm);
        pulseStartTime = now;
        pulseActive = true;
        lastUpdate = now;
    }

    if (pulseActive && (now - pulseStartTime >= pulseDuration)) {
        applyPWM(0);
        pulseActive = false;

        //
        float distance = getDistance();
    }
}

```

```

/
Serial.print(millis());
Serial.print(" ");
Serial.print(pwmLevels[currentPWMIndex]);
Serial.print(" ");
Serial.print(distance, 1);
Serial.print(" ");
Serial.print(pulseDuration);
Serial.print(" ");
Serial.println(waitDuration);

currentPWMIndex = (currentPWMIndex + 1) % (sizeof(pwmLevels) / sizeof(pwmLevels[0]));
durationIndex = (durationIndex + 1) % numDurations; // رفتن به سمت بعدی زمان ها
}

}

void applyPWM(int pwm) {
if (pwm >= 0) {
digitalWrite(IN1, LOW);
digitalWrite(IN2, HIGH);
} else {
digitalWrite(IN1, HIGH);
digitalWrite(IN2, LOW);
pwm = -pwm;
}
analogWrite(PWM, constrain(pwm, 0, 255));
}

float getDistance() {
digitalWrite(trigPin, LOW);
delayMicroseconds(2);
digitalWrite(trigPin, HIGH);
delayMicroseconds(10);
digitalWrite(trigPin, LOW);

unsigned long duration = pulseIn(echoPin, HIGH, 30000);
if (duration == 0 || duration >= 30000) return -1;
}

```

```

float distance = duration * 0.034 / 2;

return distance;
}

```

توضیحات کد:

این کد آردوینو برای کنترل یک موتور DC به کمک سیگنال PWM و اندازه‌گیری فاصله با استفاده از سنسور التراسونیک طراحی شده است. ابتدا پین‌های مرتبط با جهت چرخش موتور (IN1) و (IN2) و پین PWM، و پین‌های سنسور التراسونیک (trigPin) و (echoPin) تعریف می‌شوند. سپس آرایه‌هایی شامل سطوح مختلف PWM، زمان‌های پالس، و زمان‌های انتظار تعریف شده‌اند تا سیستم در هر تکرار رفتار متفاوتی از خود نشان دهد. در تابع loop، در صورتی که زمان انتظار به پایان رسیده باشد، یک پالس PWM با مقدار مشخص به موتور اعمال می‌شود و تایمیر آغاز می‌گردد. پس از اتمام مدت پالس، موتور متوقف شده و سنسور التراسونیک فعال می‌شود تا فاصله اندازه‌گیری شود. سپس داده‌ها شامل زمان فعلی، مقدار PWM، فاصله اندازه‌گیری شده، مدت پالس و مدت انتظار از طریق پورت سریال ارسال می‌شوند. تابع applyPWM مسئول تعیین جهت چرخش موتور بر اساس علامت PWM و اعمال مقدار آن است، در حالی که getDistance وظیفه‌ی ارسال پالس به سنسور و محاسبه فاصله بر حسب سانتی‌متر را بر عهده دارد. این کد امکان تست رفتار سیستم مکانیکی در شرایط مختلف زمانی و با مقادیر متفاوت PWM را فراهم می‌کند و داده‌های لازم برای تحلیل عملکرد آن را فراهم می‌سازد.

حال که دیتا های لازم را جمع کردیم، وقت آن است که به سراغ مطلب برویم و با استفاده از آن و جعبه‌ای ابزار شناسایی مربوط به آن تابع تبدیل سیستم را به دست آوریم.
در مطلب با استفاده از کد زیر می‌خواهیم سیستم را شناسایی کنیم:

```

% MATLAB Code for Sinusoidal Input Identification with Pulse Duration

% File to load data
filename = 'fatestt.txt';

% Load Data
data = readmatrix(filename);
time_data = data(:, 1) / 1000; % Convert to seconds

```

```

pwm_data = data(:, 2);
angle_data = data(:, 3);
distance_data = data(:, 4);
pulse_duration = data(:, 5);

% Sample Time Calculation
Ts = mean(diff(time_data));

% Create iddata objects
theta_data_id = iddata(angle_data, pwm_data, Ts);
x_data_id = iddata(distance_data, pwm_data, Ts);

% Model Order Selection
order = [2 1];

% Transfer Function for Angle (Theta)
tf_theta = tfest(theta_data_id, order(1), order(2));

% Transfer Function for Position (X)
tf_x = tfest(x_data_id, order(1), order(2));

% Display Transfer Functions
disp('Transfer Function for Angle (Theta):');
disp(tf_theta);

disp('Transfer Function for Position (X):');
disp(tf_x);

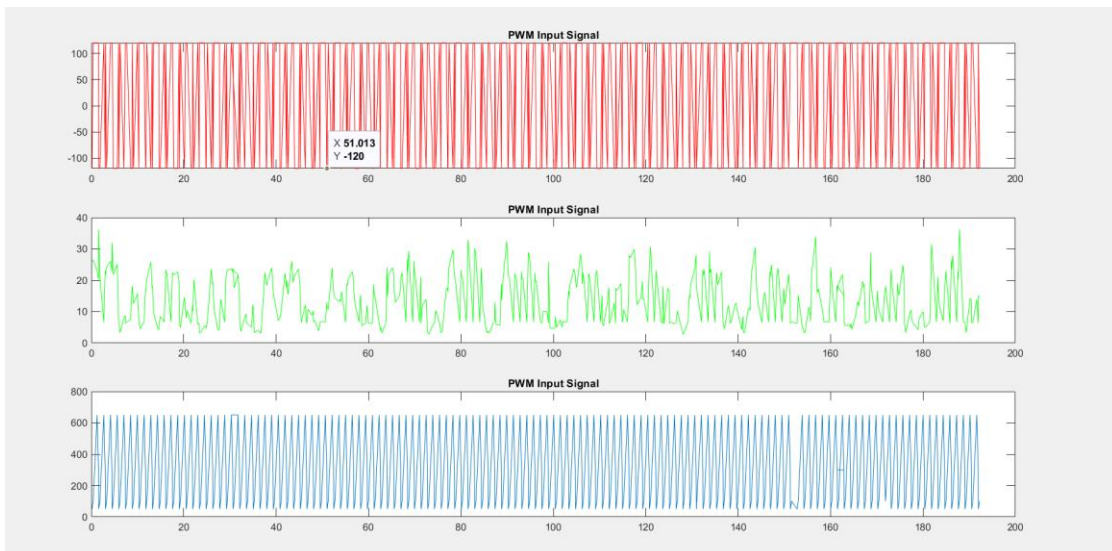
% Frequency Response Analysis
figure;
subplot(2, 1, 1);
bode(tf_theta);
title('Bode Plot - Angle (Theta)');

subplot(2, 1, 2);
bode(tf_x);
title('Bode Plot - Position (X)');

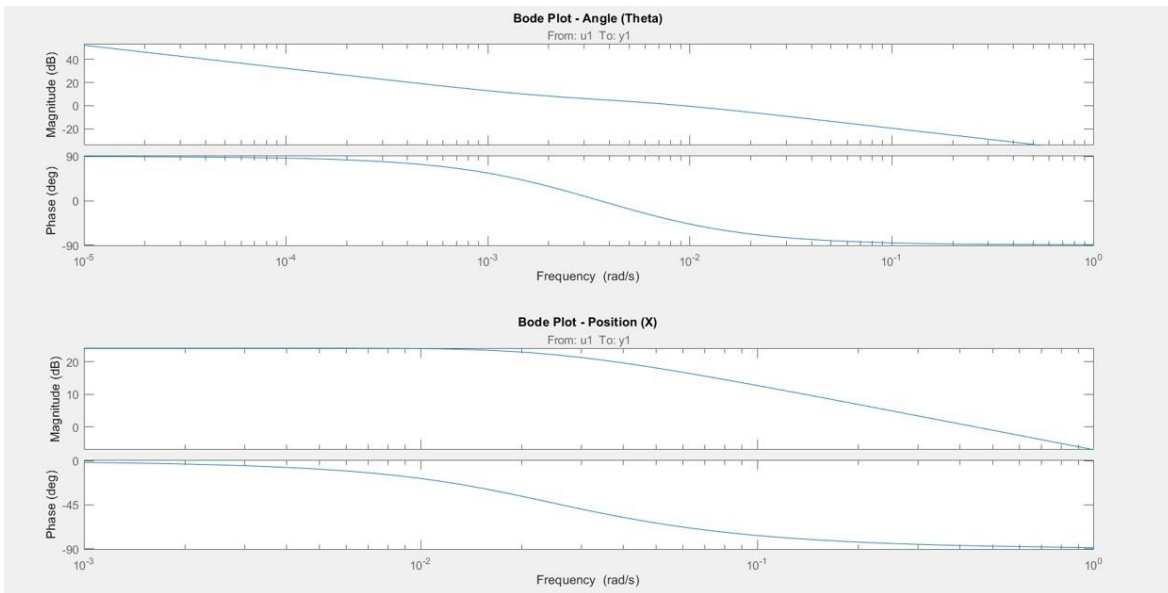
```

توضیحات کد:

این کد MATLAB در ابتدا فایل داده‌ای با نام 'f' بازگذاری می‌شود که شامل اطلاعات مربوط به زمان (که از میلی‌ثانیه به ثانیه تبدیل می‌شود)، ورودی PWM، زاویه (theta)، فاصله position) و مدت زمان پالس است. سپس با استفاده از اختلاف بین نمونه‌های زمانی، زمان نمونه‌برداری (Ts) محاسبه می‌شود. با استفاده از داده‌های زاویه و فاصله به عنوان خروجی، و PWM به عنوان ورودی، دو شیء idata و sdata می‌شود که برای شناسایی سیستم استفاده می‌گردد. مدل‌سازی به صورت تابع تبدیل خطی با استفاده از دستور tfest انجام می‌شود که با مشخص کردن مرتبه مدل (۲ قطب و ۱ صفر) دو تابع تبدیل برآورد می‌گردد: یکی برای زاویه و دیگری برای موقعیت. نتایج به دست آمده با دستور disp چاپ می‌شوند و سپس نمودار بود (Bode Plot) برای هر دو مدل ترسیم می‌شود تا رفتار فرکانسی سیستم‌ها بررسی گردد. این تحلیل به ویژه در کاربردهایی که ورودی‌ها به صورت پالس‌های متناوب یا سینوسی هستند اهمیت دارد و کمک می‌کند تا دینامیک سیستم به صورت دقیق مدل‌سازی شود. نمودارهای تحلیلی بصورت زیراست:



شکل ۱۰-۱: ((نمودارهای دینامیکی ورودی برای تحلیل)



شکل ۱۱-۱ : (نمودار بود)

در طی فرایند شناسایی حالات مختلفی را برای شناسایی سیستم در نظر گرفتم که تمام مراحل را در ادامه توضیح خواهیم داد؛ در اینجا ما از روشی به نام پالس دیوریشن استفاده کرده‌ایم. در این روش می‌خواهیم به موتور PWM های ثابت بدھیم با این تفاوت که عرض پالس را ما انتخاب می‌کنیم، این یعنی ما به موتور می‌گوییم که به چه اندازه باید کار بکند.تابع تبدیل های به دست آمده در این فرایند شناسایی در ادامه آمده است.

تابع تبدیل (X) و نتایج مربوط به آن:

```
Transfer Function for Position (X):
idtf with properties:

    Numerator: [0.4431 0.0064]
    Denominator: [1 0.0387 3.9653e-04]
    Variable: 's'
    IODelay: 0
    Structure: [1x1 pmodel.tf]
    NoiseVariance: 2.0267e+04
    InputDelay: 0
    OutputDelay: 0
    InputName: {'u1'}
    InputUnit: {}
    InputGroup: [1x1 struct]
    OutputName: {'y1'}
    OutputUnit: {}
    OutputGroup: [1x1 struct]
    Notes: [0x1 string]
    UserData: []
    Name: ''
    Ts: 0
    TimeUnit: 'seconds'
    SamplingGrid: [1x1 struct]
```

شکل ۱۲-۱ (شناسایی تابع تبدیل درجه ۲ برای فاصله)

تابع تبدیل θ و نتایج مربوط به آن:

```
Model Properties
>> ppppppppl
Transfer Function for Angle (Theta):
idtf with properties:

    Numerator: [0.0122 -0.0122]
    Denominator: [1 0.7845 0.1729]
    Variable: 's'
    IODelay: 0
    Structure: [1x1 pmodel.tf]
    NoiseVariance: 10.1435
    InputDelay: 0
    OutputDelay: 0
    InputName: {'u1'}
    InputUnit: {}
    InputGroup: [1x1 struct]
    OutputName: {'y1'}
    OutputUnit: {}
    OutputGroup: [1x1 struct]
    Notes: [0x1 string]
    UserData: []
    Name: ''
    Ts: 0
    TimeUnit: 'seconds'
    SamplingGrid: [1x1 struct]
    Report: [1x1 idresults.tfest]
```

شکل ۱۳-۱ (شناسایی تابع تبدیل درجه ۲ برای زاویه)

برای سیستم از شناسایی درجه ۳ و درجه ۴ نیز استفاده کرده‌ایم. ولی به دلیل حاشیه پایداری نامناسب پاسخ مطلوب ما را ایجاد نمی‌کردند. تابع تبدیل مربوط به هر کدام را در ادامه قرار می‌دهیم:

```
Transfer Function for Position (X):
idtf with properties:

    Numerator: [9.0986 433.2385]
    Denominator: [1 32.5098 224.9942 57.7244]
        Variable: 's'
        IODelay: 0
        Structure: [1x1 pmodel.tf]
    NoiseVariance: 0.6871
        InputDelay: 0
        OutputDelay: 0
            InputName: {'u1'}
            InputUnit: {}
            InputGroup: [1x1 struct]
            OutputName: {'y1'}
            OutputUnit: {}
            OutputGroup: [1x1 struct]
                Notes: [0x1 string]
                UserData: []
                    Name: ''
                    Ts: 0
                    TimeUnit: 'seconds'
                SamplingGrid: [1x1 struct]
                Report: [1x1 idresults.tfest]
```

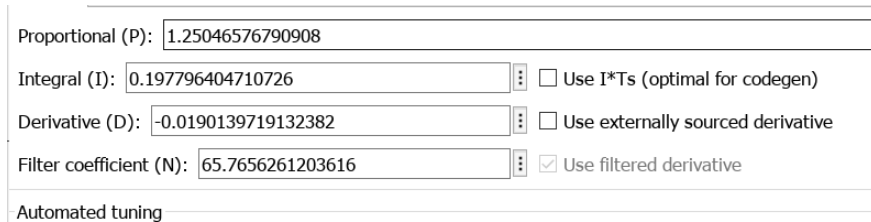
شکل ۱۴-۱: (شناسایی درجه ۳)

```
Transfer Function for Angle (Theta):
idtf with properties:

    Numerator: [22.9908 -1.2970e+03]
    Denominator: [1 43.6868 2.1044e+03 3.2847e+04]
        Variable: 's'
        IODelay: 0
        Structure: [1x1 pmodel.tf]
    NoiseVariance: 0.4308
        InputDelay: 0
        OutputDelay: 0
            InputName: {'u1'}
            InputUnit: {}
            InputGroup: [1x1 struct]
            OutputName: {'y1'}
            OutputUnit: {}
            OutputGroup: [1x1 struct]
                Notes: [0x1 string]
                UserData: []
                    Name: ''
                    Ts: 0
                    TimeUnit: 'seconds'
                SamplingGrid: [1x1 struct]
                Report: [1x1 idresults.tfest]
```

شکل ۱۵-۱: (شناسایی درجه ۴)

برای کنترل سیستم چند روش را امتحان کردیم:
در ابتدا با تنها با داشتن موقعیت و طراحی PID قصد کنترل سیستم را داشتیم که نتیجه بصورت زیر می باشد:



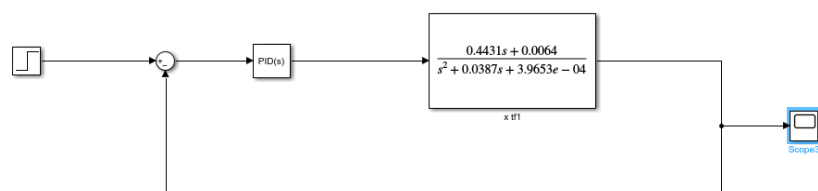
شکل ۱۶-۱ (ضرایب PID برای موقعیت)

: ۱ = setpoint برای آن و پاسخ آن



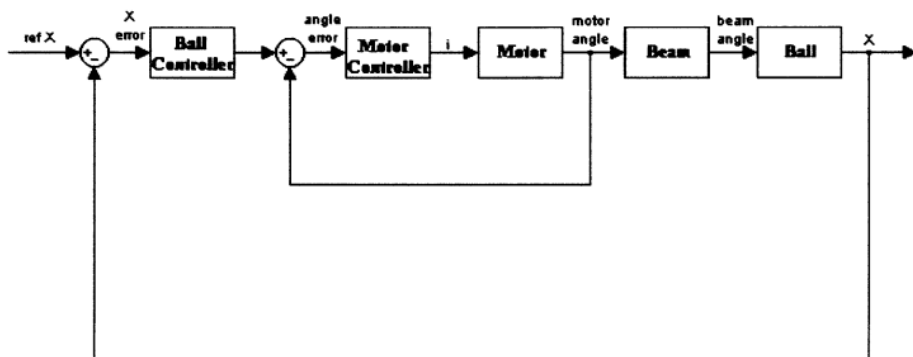
شکل ۱۷-۱ (پاسخ سیستم بعد کنترل به ورودی ۱)

و بلوک دیاگرام آن در سیمولینک بصورت زیر است:



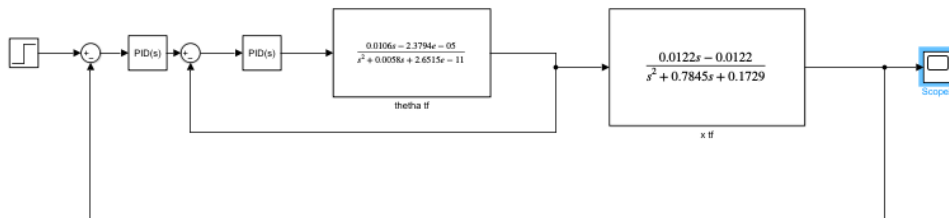
شکل ۱۸-۱ (بلوک دیاگرام در سیمولینک)

این حالت مطلوب مانبود و نمی توانستیم توپ را بروی میله با آن کنترل کنیم؛ پس برای کنترل بسراخ کنترل کننده کسکید رفتیم و دوباره فرایند طراحی کنترل کننده کسکید را برای آن پیاده کردیم.



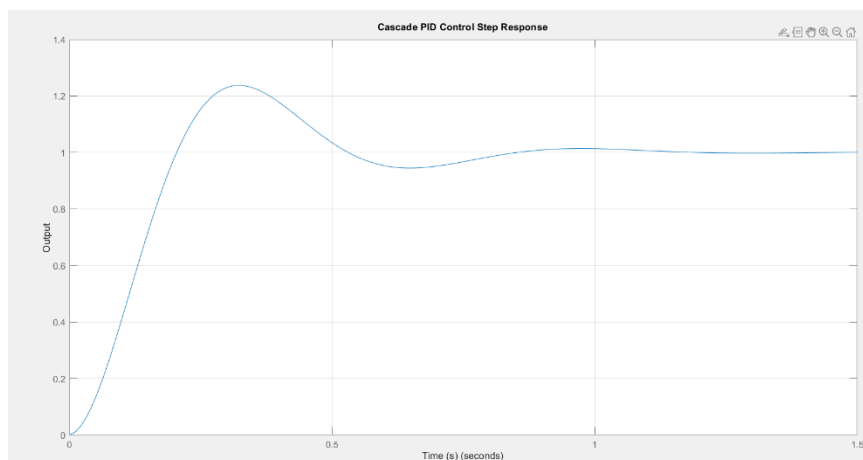
شکل ۱۹-۱ (نمونه ای از کنترل کننده کسکید)

بلوک دیاگرام ان در سیمولینک بصورت زیر است:



شکل ۲۰-۱ (بلوک دیاگرام کسکید در سیمولینک)

پاسخ سیستم با کنترل کننده کسکید بصورت زیر درآمد:



شکل ۲۱-۱ (پاسخ سیستم کسکید به ورودی پله واحد)

و ضرایب PID های آن بصورت زیر می باشد:

کنترل کننده داخلی (برای θ)
 $K_p = -31.4669$
 $K_i = -5.2588$
 $K_d = -33.8086$

کنترل کننده خارجی (برای x)
 $K_p = 30.0000$
 $K_i = 1.0000$
 $K_d = 0.1000$

برای دقت بیشتر از روش زیگلر نیکولز هم استفاده کردیم که بصورت زیر است:

تابع انتقال سیستم:

$$G_x(s) = \frac{0.4431s + 0.0064}{s^2 + 0.0387s + 3.9653 \times 10^{-4}}$$

سپس ضرایب کنترل کننده PID به صورت زیر محاسبه می شوند:

$$K_u = 85.40$$

$T_u = 4.32$ (ثانیه)

محاسبه ضرایب PID:

$$K_p = 0.6 \cdot K_u$$

$$K_i = \frac{2K_p}{T_u}$$

$$K_d = \frac{K_p \cdot T_u}{8}$$

با جایگذاری مقادیر:

$$K_p = 0.6 \cdot 85.40 = 51.24$$

$$K_i = \frac{2 \cdot 51.24}{4.32} = 23.73$$

$$K_d = \frac{51.24 \cdot 4.32}{8} = 27.63$$

برای زاویه داریم:

$$G_\theta(s) = \frac{0.0122s - 0.0122}{s^2 + 0.7845s + 0.1729}$$

مقادیر به دست آمده از شبیه سازی:

$$K_u = 4.00,$$
$$T_u = 1.80 \text{ (ثانیه)}$$

جایگذاری در فرمول ها:

$$K_p = 0.6 \cdot 4.00 = \boxed{2.40}$$
$$K_i = \frac{2 \cdot 2.40}{1.80} = \boxed{2.67}$$
$$K_d = \frac{2.40 \cdot 1.80}{8} = \boxed{0.54}$$

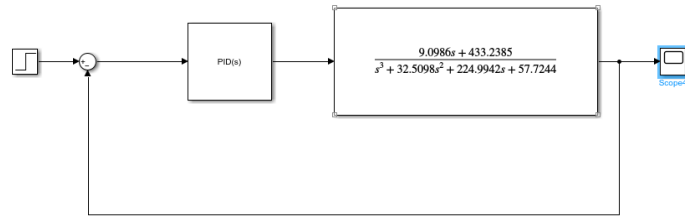
۲-۲. شناسایی با PWM

در این قسمت کاملا مشابه قسمت قبل است و با این تفاوت که از PWM های متغیر استفاده کرده ایم و دیگر مثل به موتور فرمان نمی دهیم به چه مدت روی یک PWM pulse duration یکسان کار کند.

```
Transfer Function for Position (X):
idtf with properties:

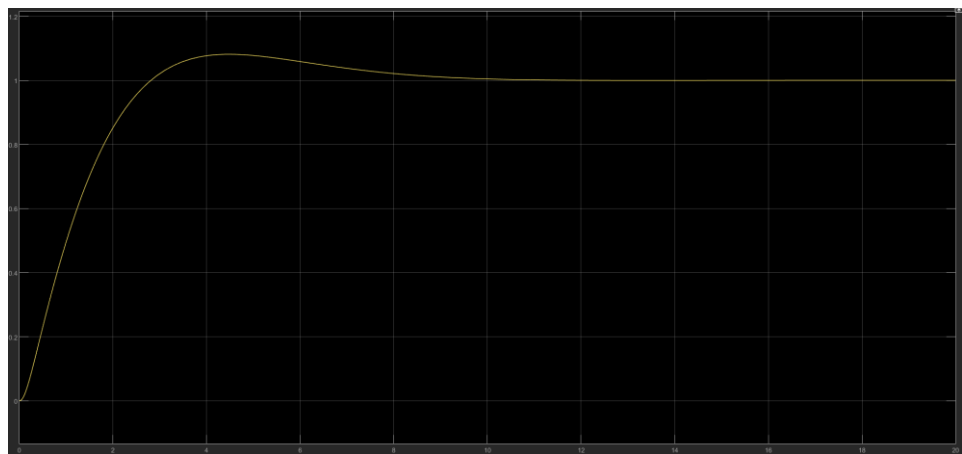
    Numerator: [-0.2871 13.0882]
    Denominator: [1 4.9252 3.8915e-10]
    Variable: 's'
    IODelay: 0
    Structure: [1x1 pmodel.tf]
    NoiseVariance: 0.5673
    InputDelay: 0
    OutputDelay: 0
    InputName: {'u1'}
    InputUnit: {}
    InputGroup: [1x1 struct]
    OutputName: {'y1'}
    OutputUnit: {}
    OutputGroup: [1x1 struct]
    Notes: [0x1 string]
    UserData: []
    Name: ''
    Ts: 0
    TimeUnit: 'seconds'
    SamplingGrid: [1x1 struct]
    Report: [1x1 idresults.tfest]
```

شکل ۲۲-۱ (تابع تبدیل شناسایی شده از PWM)



شکل ۱۳-۱ (سیستم در سیمولینک)

:setpoint=1 به پاسخ سیستم به



شکل ۱۴-۱ (پاسخ سیستم به ورودی ۱)

و برای ضرایب PID:

Proportional (P):	<input type="text" value="0.341172202940609"/>	<input type="button" value="⋮"/>
Integral (I):	<input type="text" value="0.162192638907057"/>	<input type="checkbox"/> Use I*Ts (optimal for codegen)
Derivative (D):	<input type="text" value="-0.0334913184857176"/>	<input type="checkbox"/> Use externally sourced derivative
Filter coefficient (N):	<input type="text" value="0.897271978847324"/>	<input checked="" type="checkbox"/> Use filtered derivative

شکل ۱۵-۱ (ضرایب PID)

مشابهای شناسایی درجه ۳ نیز داریم:

```

Transfer Function for Position (X):
idtf with properties:

    Numerator: [9.0986 433.2385]
    Denominator: [1 32.5098 224.9942 57.7244]
    Variable: 's'
    IODelay: 0
    Structure: [1×1 pmodel.tf]
    NoiseVariance: 0.6871
    InputDelay: 0
    OutputDelay: 0
    InputName: {'ul'}
    InputUnit: {}
    InputGroup: [1×1 struct]
    OutputName: {'y1'}
    OutputUnit: {}
    OutputGroup: [1×1 struct]
    Notes: [0×1 string]
    UserData: []
    Name: ''
    Ts: 0
    TimeUnit: 'seconds'
    SamplingGrid: [1×1 struct]
    Report: [1×1 idresults.tfest]

```

شکل ۲۶-۱ (شناسایی درجه ۳)

همچنین نمونه ای از فایل های txt که به متلب داده ایم:

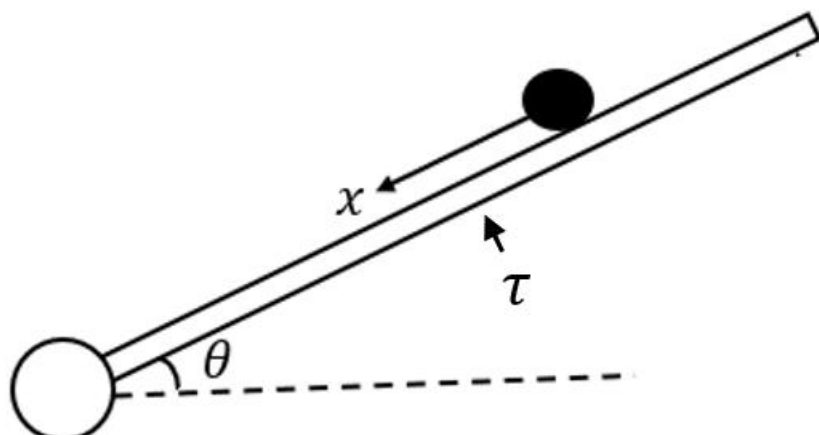
152 -120 26.0 50 100	1056 0 27.0 50 100	150 0.21 27.5
402 120 26.5 100 200	1705 120 22.7 600 100	200 15.37 23.6
1251 120 23.1 650 300	1808 -120 22.3 100 100	250 -2.77 23.5
1553 120 20.2 300 500	1870 -120 21.9 60 100	-250 3.70 25.6
1606 -120 36.2 50 100	1960 0 19.7 50 100	-200 5.83 23.1
1855 -120 21.0 100 200	2610 120 14.0 600 100	-150 21.78 26.4
2704 120 6.7 650 300	2711 0 4.7 100 100	-120 1.75 6.7
3006 -120 23.0 300 500	2772 -120 6.2 60 100	120 -0.02 23.2
3058 120 21.7 50 100	2863 120 9.2 50 100	150 -2.02 23.1
3308 -120 24.2 100 200	3513 -120 23.2 600 100	200 1.30 22.0
4159 120 26.1 650 300	3614 -120 6.3 100 100	250 -4.96 21.2
4460 120 22.8 300 500	3677 0 28.3 60 100	-250 -2.08 22.5
4513 120 32.0 50 100	3766 120 25.1 50 100	-200 2.85 27.9
4762 -120 21.8 100 200	4416 120 16.1 600 100	-150 -4.18 29.6
5612 -120 25.1 650 300	4518 0 13.8 100 100	-120 4.61 6.7
5913 120 6.7 300 500	4580 120 13.5 60 100	120 -5.45 22.0
5964 -120 6.7 50 100	4670 -120 11.3 50 100	150 -3.30 22.6
6214 120 3.3 100 200	5319 -120 5.7 600 100	200 1.27 18.8
7064 -120 8.0 650 300	5420 0 4.2 100 100	250 -3.22 17.3
7366 120 8.7 300 500	5481 120 3.3 60 100	-250 -1.76 18.7
7416 120 6.3 50 100	5573 0 29.3 50 100	-200 5.96 21.3
7666 120 6.7 100 200	6221 -120 5.4 600 100	-150 -3.28 19.7
	6322 120 6.3 100 100	

فصل سوم: شبیه‌سازی

مقدمه: شبیه‌سازی به عنوان یک مرحله واسطه بین طراحی تئوریک و پیاده‌سازی عملی، نقشی حیاتی در ارزیابی عملکرد سیستم و اعتبارسنجی کنترل کننده‌های طراحی شده ایفا می‌کند. در این فصل، مدل‌های استخراج شده از فرآیند شناسایی سیستم در محیط MATLAB/Simulink پیاده‌سازی شده‌اند و رفتار دینامیکی سیستم تحت شرایط مختلف کنترلی مورد بررسی قرار گرفته است. هدف از این شبیه‌سازی‌ها، تحلیل دقیق پاسخ زمانی، ارزیابی پایداری، و مقایسه عملکرد کنترل کننده‌ها در شرایط ایده‌آل و نیمه‌واقعی بوده است تا پیش از اجرای فیزیکی، نقاط ضعف احتمالی در طراحی آشکار گردد.

۱-۳. مدل سازی به روشن لاغرانژ

در این پژوهه برای مدل‌سازی دینامیکی سیستم Ball and Beam از روش لاغرانژ استفاده شده است. این روش بر پایه انرژی‌های جنبشی و پتانسیل سیستم بنا شده و از معادلات لاغرانژ برای استخراج معادلات حرکت بهره می‌برد. با تعریف مختصات تعیین‌یافته مانند زاویه میله و موقعیت توپ، انرژی کل سیستم محاسبه شده و سپس با اعمال اصل کمینه‌سازی، معادلات دیفرانسیل غیرخطی حاکم بر سیستم استخراج می‌شوند و سپس با استفاده از مبانی خطی‌سازی به توابع تبدیل مناسب می‌رسیم. این مدل‌سازی‌پایه‌ای برای تحلیل پویای سیستم و طراحی کنترل کننده‌های دقیق فراهم می‌سازد.



شکل ۲۷-۱ (مدل شماتیک سیستم توپ و میله)

$$L = T - V$$

$$\frac{d}{dt} \left(\frac{\partial L}{\partial \dot{q}} \right) - \frac{\partial L}{\partial q} = Q$$

انرژی جنبشی توب در راستای x :

$$T = \frac{1}{2} m \dot{x}^2$$

انرژی جنبشی توب به علت چرخش دور خودش :

$$T = \frac{1}{2} J \omega^2 = \frac{1}{2} \left(\frac{2}{5} m r^2 \right) \left(\frac{\dot{x}}{r} \right)^2 = \frac{1}{5} m \dot{x}^2$$

انرژی جنبشی توب به علت گشتاور وارد به میله :

$$T = \frac{1}{2} m x^2 \dot{\theta}^2$$

انرژی جنبشی میله :

$$T = \frac{1}{2} I \dot{\theta}^2$$

انرژی جنبشی کل :

$$T = \frac{7}{10} m \dot{x}^2 + \frac{1}{2} I \dot{\theta}^2 + \frac{1}{2} m x^2 \dot{\theta}^2$$

انرژی پتانسیل کل :

$$V = mgx \sin \theta + Mg \frac{L}{2} \sin \theta$$

$$L = T - V$$

$$\frac{\partial L}{\partial \dot{x}} = \frac{7}{5} m \dot{x}$$

$$\frac{\partial L}{\partial x} = m x \dot{\theta}^2 - mg \sin \theta$$

$$\frac{\partial L}{\partial \theta} = mgx \cos \theta + Mg \frac{L}{2} \cos \theta$$

$$\frac{\partial L}{\partial \dot{\theta}} = I \dot{\theta} + mx^2 \dot{\theta}$$

معادله لاغرانژ نسبت به x :

$$\frac{7}{5} m \ddot{x} - m x \dot{\theta}^2 + mg \sin \theta = -b \dot{\theta}$$

برای اصطکاک $b \dot{\theta}$ را در نظر می گیریم

معادله لاغرانژ نسبت به θ

$$I \ddot{\theta} + mx^2 \ddot{\theta} - mgx \cos \theta - Mg \frac{L}{2} \cos \theta = \tau$$

در خطی سازی تناول صفر است در نتیجه:

$$\cos \theta = 1 \quad \sin \theta = \theta$$

همچنین هر توان بیشتر از یک را صفر در نظر می‌گیریم.

پس خواهیم داشت:

$$\frac{7}{5}m\ddot{x} + mg\theta = -b\dot{\theta}$$

$$\ddot{x} = -\frac{5}{7m}b\dot{\theta} - \frac{5}{7}g\theta$$

$$I\ddot{\theta} + mx^2\ddot{\theta} + mgx + Mg\frac{L}{2} = \tau$$

$$\ddot{\theta} = \frac{\tau - mgx - Mg\frac{L}{2}}{I + mx^2}$$

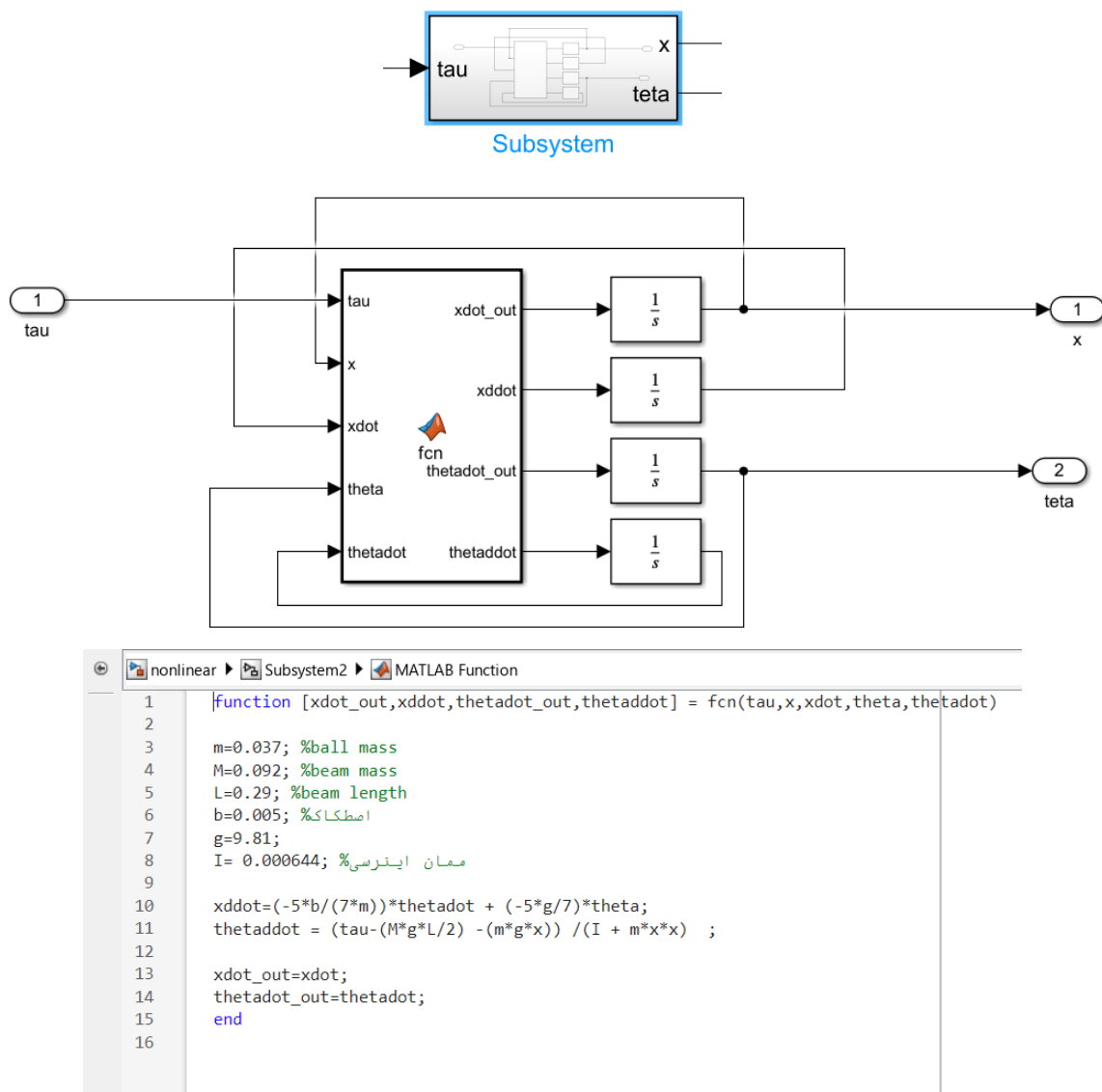
مقادیر پارامترهای سیستم توپ و میله:

M جرم توپ	0.037 kg
M جرم میله	0.092 kg
G شتاب گرانشی	9.81 ms/ ²
L طول میله	0.29 m
I ممان اینرسی میله	0.000644 kg.m ²
b ضریب اصطکاک	0.005 N.m.s/rad

۲-۳. مدل خطی در متلب

ابتدا مدل سازی خطی را در متلب سیمولینک پیاده سازی کردیم سپس کنترل کننده هایی که در بخش طراحی کنترل کننده با روش های شناسایی مختلف به دست آورده ایم را بر روی این مدل اعمال می کنیم و نتیجه را مشاهده می کنیم.

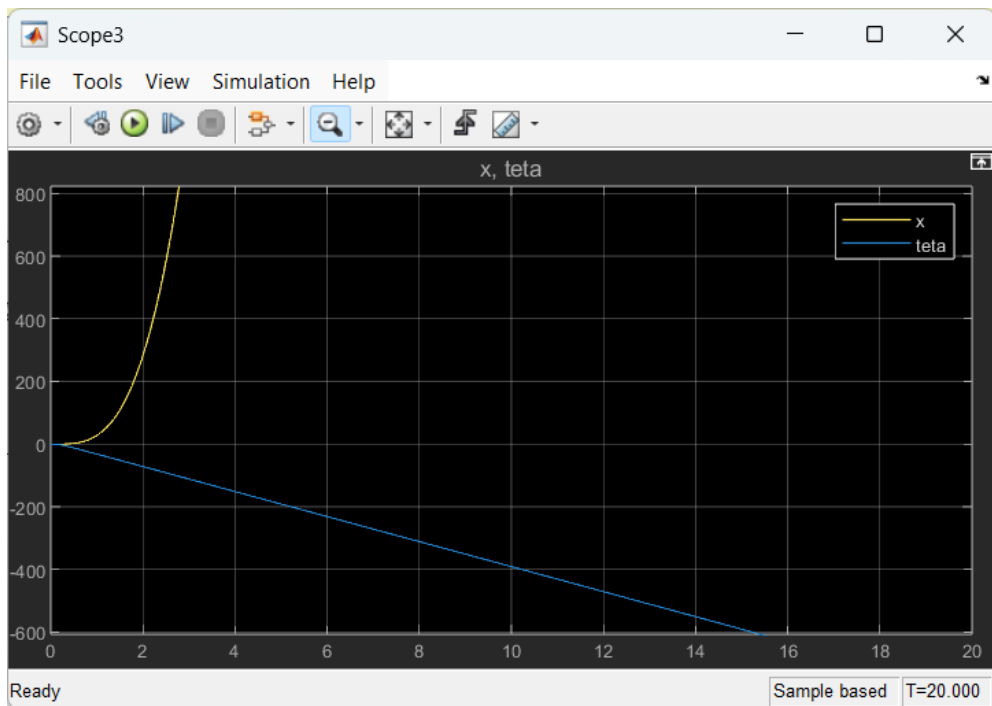
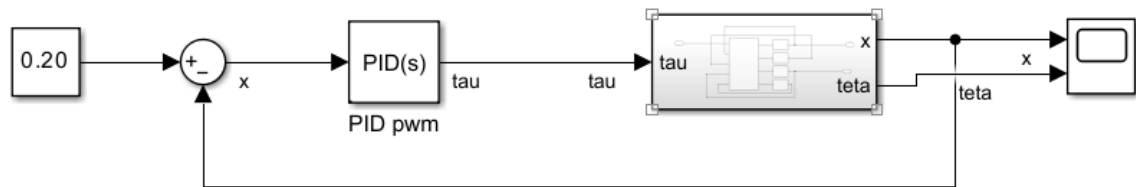
مدل خطی را در یک subsystem قرار می دهیم با ورودی گشتاور و خروجی های قابل مشاهده مکان و به این صورت subsystem همانند تابع تبدیل مدل خطی ماخواهد بود و می توانیم اثر کنترل کننده را روی آن مشاهده کنیم.



شکل ۱-۲۸: (پیاده سازی مدل خطی بدست آمده از مدل سازی لاغرانژ در متلب)

۱-۲-۳. کنترل کننده بر اساس شناسایی PWM

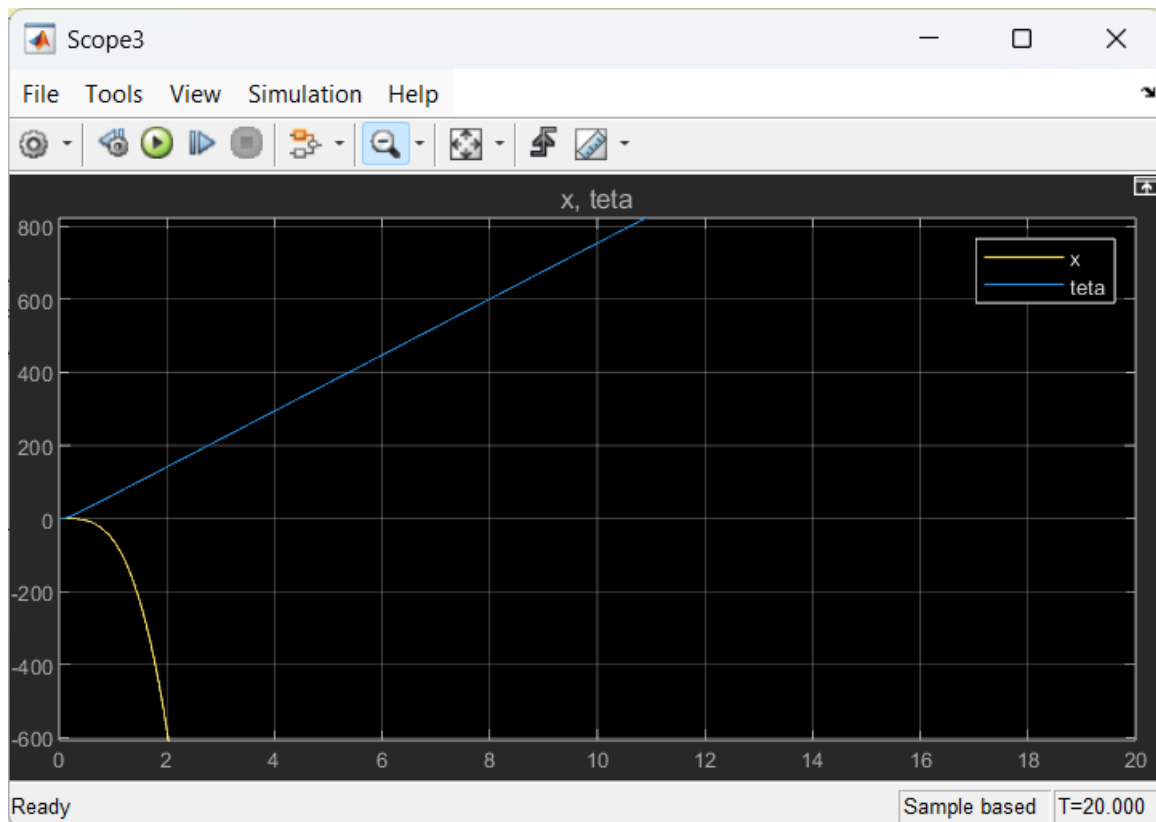
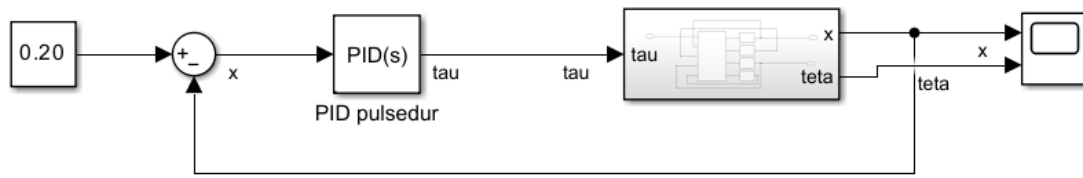
پس از اعمال ضرایب PID که در بخش شناسایی بر اساس PWM بدست آورده بودیم به مدل خطی در متلب، به نتیجه مطلوبی نرسیدیم و توب و میله رفتار ناپایدار داشتند.



شکل ۲۹-۱ : (بلوک دیاگرام و رفتار سیستم پس از اعمال کنترل کننده PWM)

۲-۲-۳. کنترل کننده بر اساس شناسایی Pulse Duration

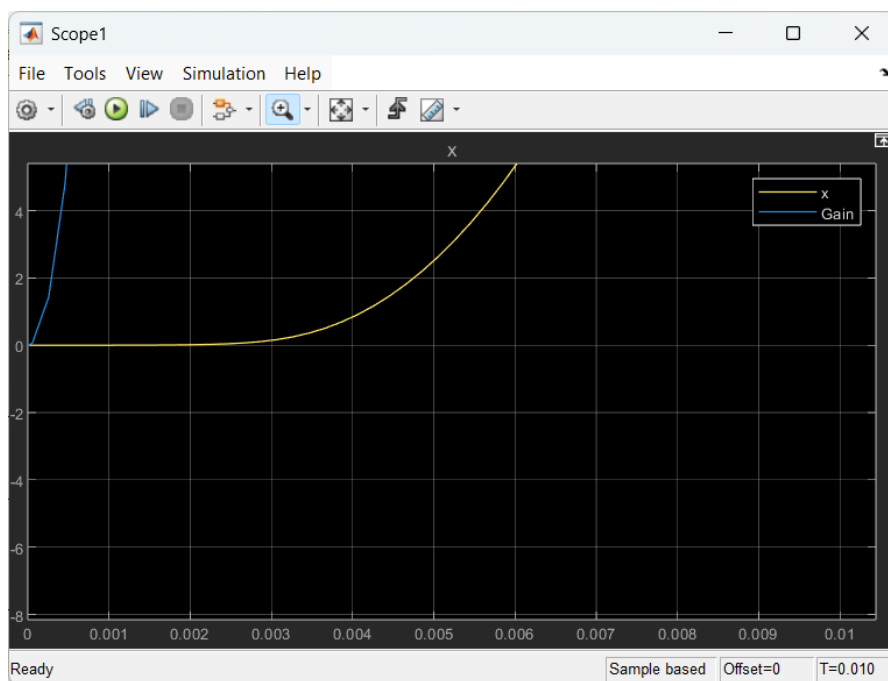
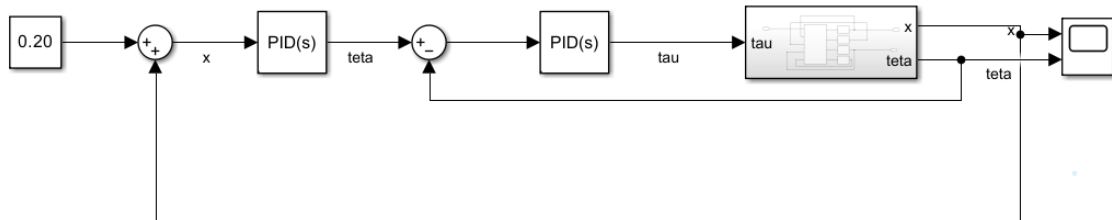
پس از اعمال ضرایب PID که در بخش شناسایی بر اساس Pulse Duration بدست آورده بودیم به نتیجه مطلوبی نرسیدیم و توب و میله رفتار ناپایدار داشتند.



شکل ۱ : (بلوک دیاگرام و رفتار سیستم پس از اعمال کنترل کننده Pulse Duration)

۳-۲-۳. کنترل کننده کسکید بر اساس شناسایی PulseDuration

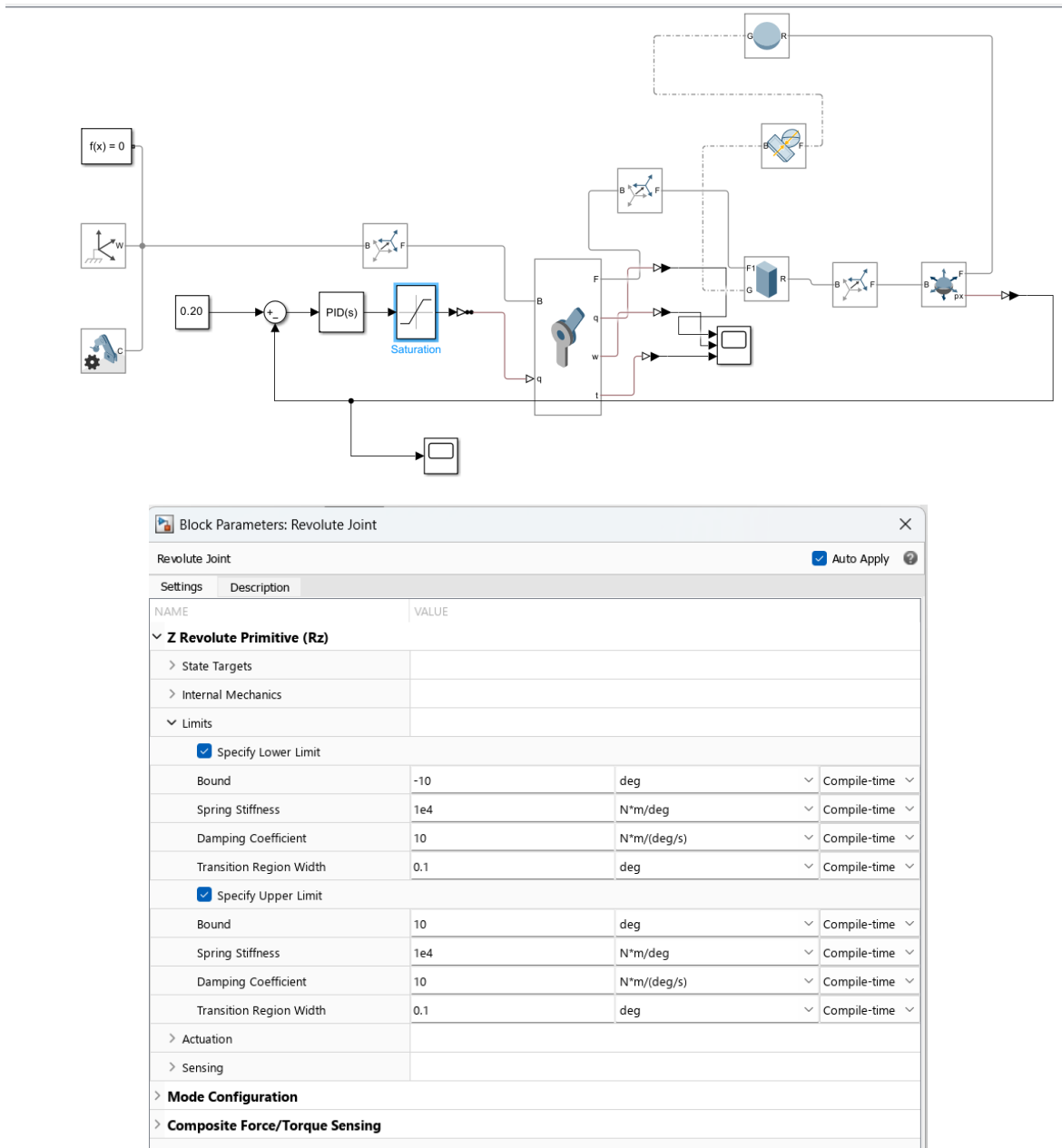
پس از اعمال ضرایب PID دو کنترل کننده که در بخش شناسایی بر اساس Pulse Duration بدست آورده بودیم به نتیجه مطلوبی نرسیدیم و توب و میله رفتار نسبت به دو مدل قبل رفتار شدیدا ناپایدارتری داشتند.



شکل ۳۱-۱ : (بلوک دیاگرام و رفتار سیستم پس از اعمال کنترل کننده کسکید)

۳-۳. مدل غیرخطی در Simscape

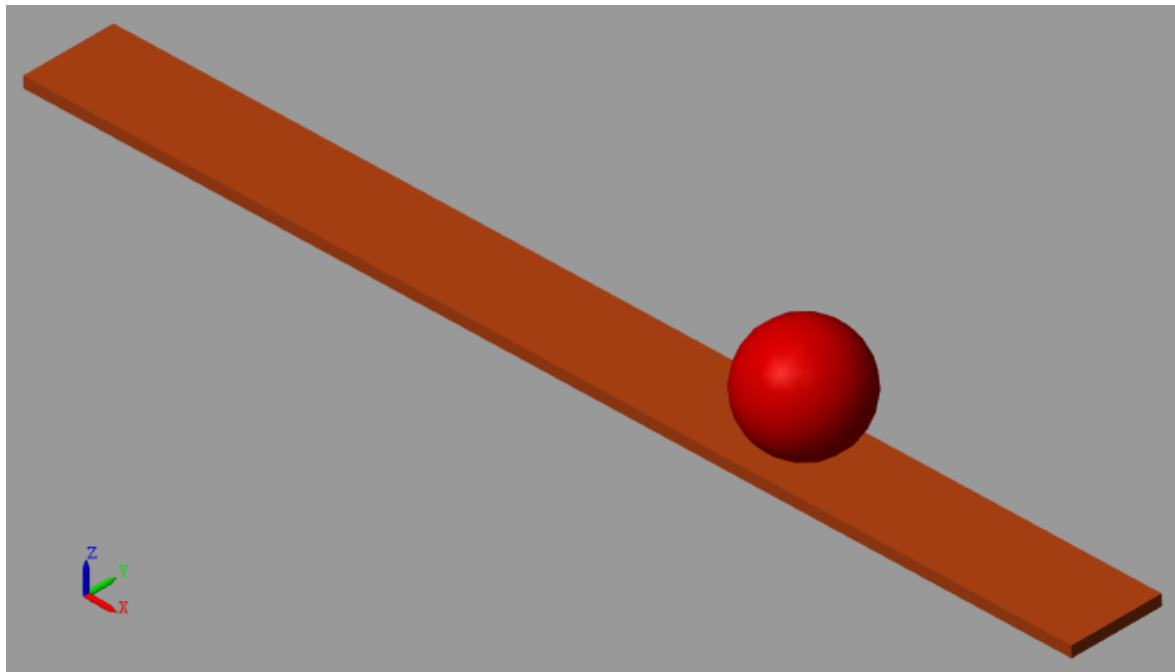
در محیط Simscape سیستم توب و میله را شبیه سازی می کنیم. تغییراتی که نسبت به پروپوزال در سیستم خود داده ایم را بر روی Simscape اعمال می کنیم.



شکل ۳۲-۱: (پیاده سازی سیستم توب و میله در Simscape و بروزرسانی فاکتورها)

بلوک saturation را اضافه می کنیم تا خروجی PID را محدود کند و سیستم به واقعیت نزدیک تر

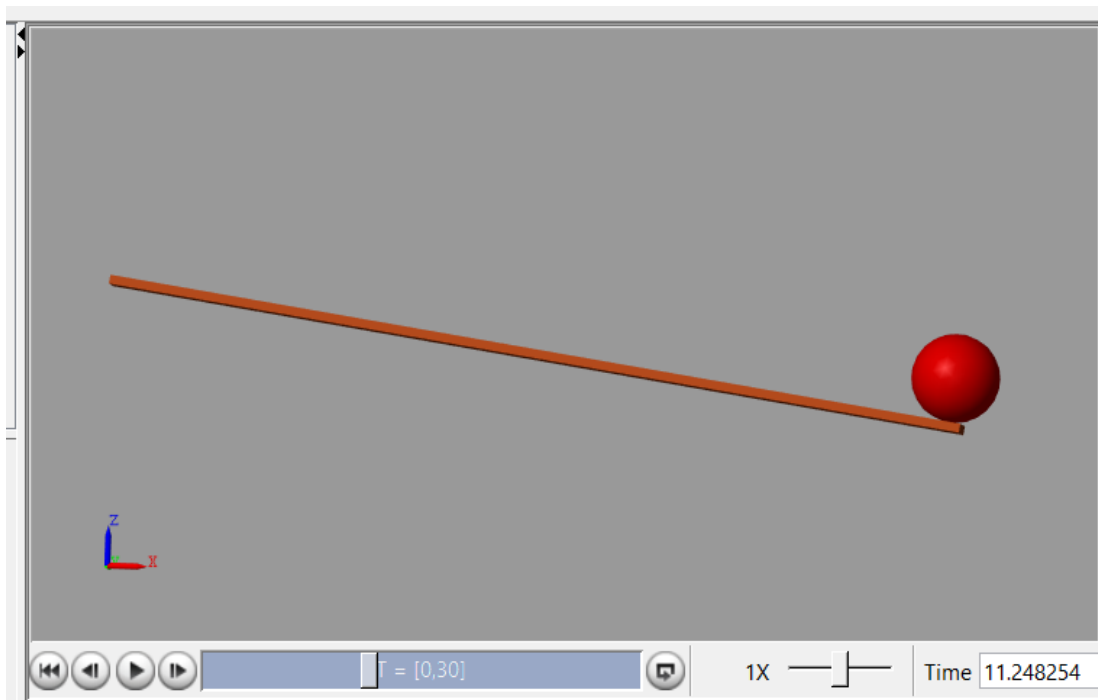
شود. لیمیت های joint را مانند واقعیت سیستم روی مثبت و منفی 5 درجه تنظیم می کنیم و ضریب اصطکاک را نیز تغییر می دهیم. طول و جرم میله و جرم و حجم توپ را نیز مطابق سیستم واقعی خود تغییر می دهیم.



به این صورت مدل شبیه سازی غیر خطی ما آماده خواهد بود و می توانیم اثر کنترل کننده را روی آن مشاهده کنیم.

۱-۳-۳. کنترل کننده بر اساس شناسایی PWM

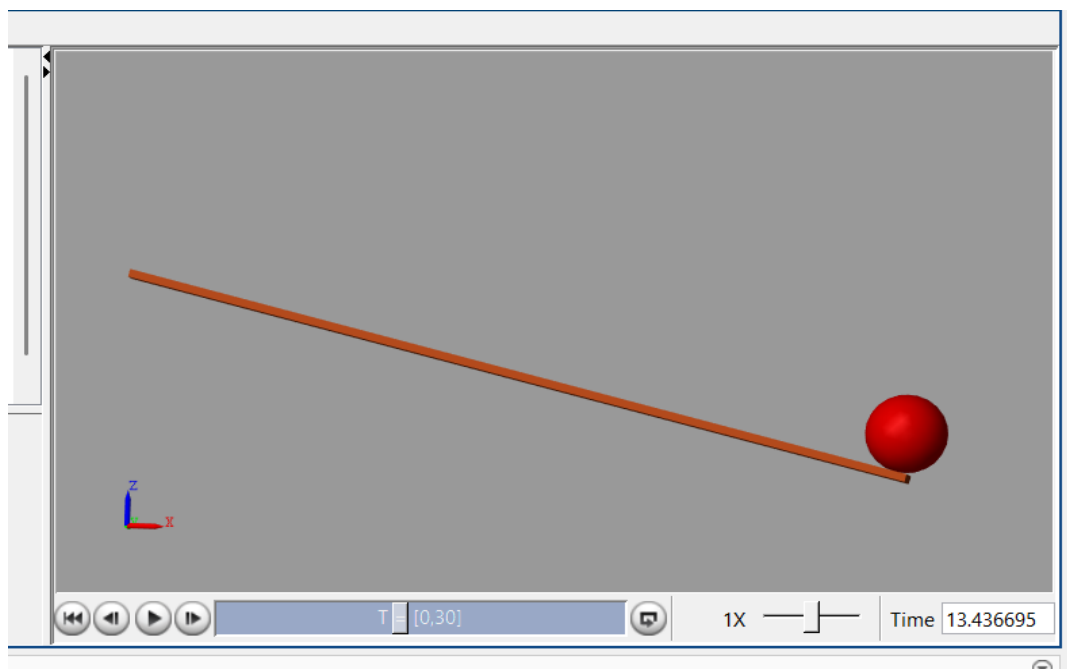
پس از اعمال ضرایب PID که در بخش شناسایی بر اساس PWM بدست آورده بودیم به نتیجه مطلوبی نرسیدیم و توپ از میله افتاد.



شکل ۱-۳۳ : (شکست کنترل کننده PWM در شبیه‌سازی)

۲-۳-۳. کنترل کننده بر اساس شناسایی Pulse Duration

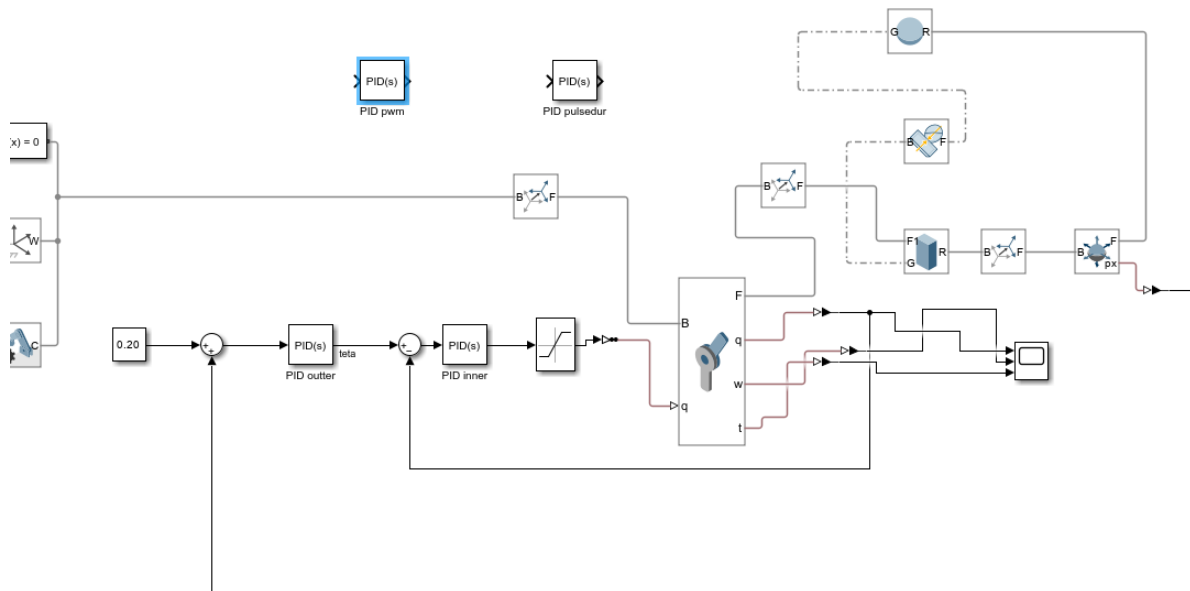
پس از اعمال ضرایب PID که در بخش شناسایی بر اساس Pulse Duration بدست آورده بودیم به نتیجه مطلوبی نرسیدیم و توب از میله افتاد.



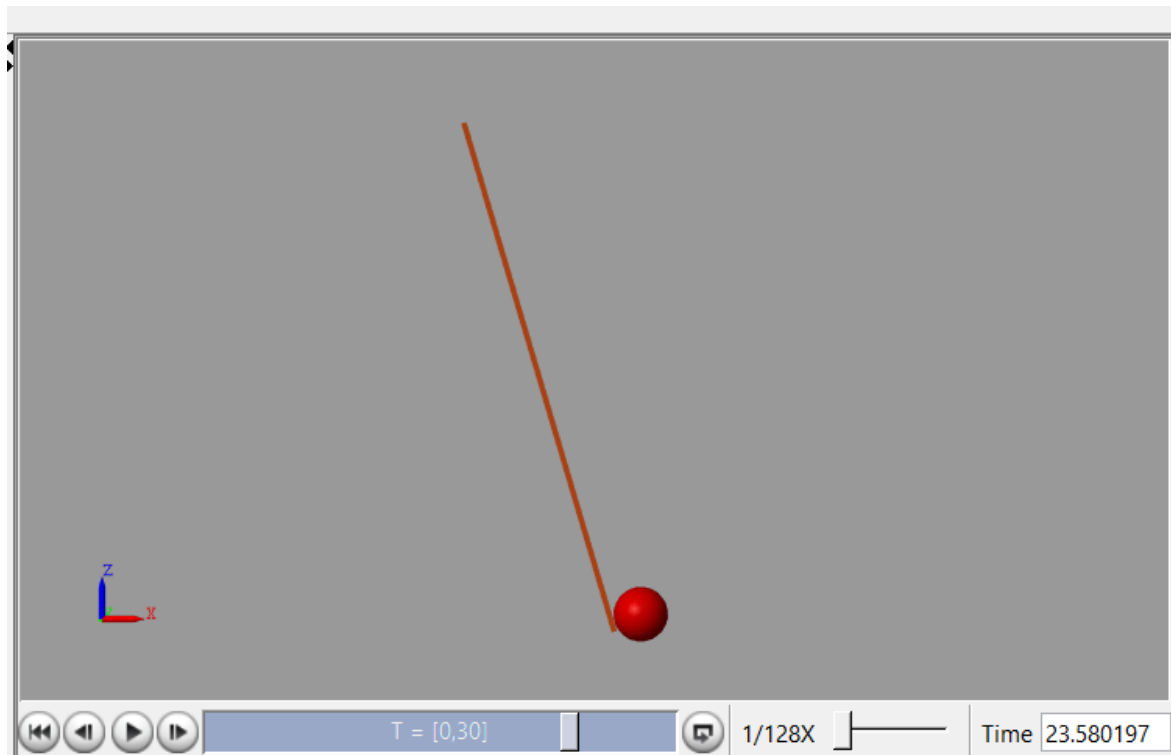
شکل ۱-۳۴ : (شکست کنترل کننده Pulse Duration در شبیه‌سازی)

۳-۳-۳. کنترل کننده کسکید بر اساس شناسایی Pulse Duration

پس از اعمال ضرایب PID که در بخش شناسایی براساس Pulse Duration بدست آورده بودیم به نتیجه مطلوبی نرسیدیم و توب از میله افتاد.



شکل ۱-۳۵ : (پیاده‌سازی کنترل کننده کسکید در Simscape)



شکل ۱-۳۶ : (شکست کنترل کننده کسکید در شبیه‌سازی)

۴-۳. جمع‌بندی

مشاهده شد که تمام کنترل کننده‌هایی که از طریق شناسایی بر روی سیستم واقعی طراحی شدند بر روی مدلسازی‌ها و شبیه‌سازی‌ها نتایج ناامید کننده‌ای داشتند. از دلایل این عدم تطابق می‌توان به غیرخطی بودن ذات سیستم توپ و میله، تفاوت‌های عملکردی موتور DC در برابر عملگر متلب simscape و تفاوت‌های شبیه‌سازی با سیستم واقعی (برای مثال دو سربسته میله اجازه افتادن توپ رانمی‌دهد و اوورشوت‌های بالامانع کنترل توپ نمی‌شود) اشاره کرد. این کنترل کننده‌ها عملکرد بهتری روی سیستم واقعی نسبت به نتایج شبیه‌سازی داشتند که در فصل آینده به آنها خواهیم پرداخت.

فصل چهارم: پیاده‌سازی کنترل‌کننده و بررسی عملکرد

مقدمه: پس از طراحی و شبیه‌سازی کنترل‌کننده‌ها، مرحله پیاده‌سازی عملی نقش تعیین‌کننده‌ای در سنجش کارایی واقعی سیستم و میزان تطابق آن با مدل‌های تئوریک ایفا می‌کند. در این فصل، کنترل‌کننده‌های طراحی شده در بستر سخت‌افزاری شامل میکروکنترلر Arduino، موتور، سنسورها و درایور راهاندازی پیاده‌سازی شده‌اند و با اعمال سیگنال‌های کنترلی در شرایط عملی، عملکرد آن‌ها مورد ارزیابی قرار گرفته است. بررسی دقیق پاسخ سیستم، تحلیل پایداری و نوسانات، رفتار گذرا و ماندگار، و مقایسه داده‌های واقعی با نتایج شبیه‌سازی از جمله محورهای اصلی این فصل هستند که در راستای اعتبارسنجی نهایی طراحی کنترلی انجام گرفته‌اند.

۱-۴. کنترل با PWM

روش کنترلی این کنترل کننده اعمال PWM‌های مختلف به موتور بر اساس میزان خط‌واجرای آنها به مدت ۵۰ میلی ثانیه و توقف ۲۰۰ میلی ثانیه‌ای برای بازخوانی سنسورها و بسته شدن حلقه کنترلی می‌باشد.

علامت مثبت یا منفی خروجی PID جهت چرخش موتور را تعیین می‌کرد و در صورتی که میله به لیمیت سوییچ‌ها برخورد می‌کرد جهت چرخش موتور تغییر می‌کرد. همچنین در صورتی که PID مقادیر PWM زیر ۹۰ را اعمال می‌کرد، یک *if* آنها را به ۹۰ تبدیل می‌کرد چون PWM‌های زیر ۹۰ موتور رو به حالت stall می‌برد.

در این روش در فرآیند کنترل تنها از سنسور موقعیت توپ (التراسونیک/پردازش تصویر) استفاده شد و کنترل تنها بر اساس مکان بود. یک ۱ سانتی متری نیز برای کنترل توپ در نظر گرفته شد تا سیستم دچار over control نشود.

این کنترل کننده موفق نبود چون PWM‌های بالای 160 با ۵۰ میلی ثانیه فعال بودن باعث چرخش 360 درجه‌ای شفت و بازگشت میله به زاویه ابتدایی و بی فایده بودن کنترل می‌شد. در ادامه بخش هایی از کد قرار گرفته‌اند.

ضرایب PID تنظیم شده:

```
double Kp = 0.45;
double Ki = 0.15;
double Kd = 0.3;

PID myPID(&Input, &Output, &Setpoint, Kp, Ki, Kd, DIRECT);
```

و در این قسمت بخش مربوط به deadband و بررسی پایداری به مدت ۳ ثانیه پیش از توقف کنترل و در نهایت دستور کنترلی به موتور:

```
myPID.SetMode(AUTOMATIC);
myPID.SetOutputLimits(-255, 255);
}

void loop() {
    Input = getDistance();

    if (Input >= 0) {
        error = Setpoint - Input;
        if (abs(error) <= 2.0) {
            // deadband zone
            if (!inDeadband) {
                inDeadband = true;
                deadbandStartTime = millis();
            } else {
                if (millis() - deadbandStartTime >= 3000 && !controlStopped) {
                    controlStopped = true;
                    applyPWM(0);
                    Serial.println("Target reached. Control stopped.");
                }
            }
            if (!controlStopped)
                Output = 0;
        } else {
            inDeadband = false;
            controlStopped = false;
            myPID.Compute();
        }
        if (!controlStopped)
            applyPWM(Output);
    }
}
```

```

void applyPWM(double pwmVal) {
    int pwm = abs(pwmVal);
    if (pwm > 0 && pwm < 90) pwm = 90;

    if (pwmVal == 0) {
        digitalWrite(IN1, LOW);
        digitalWrite(IN2, LOW);
        analogWrite(PWM, 0);
        return;
    }

    if (pwmVal > 0) {
        digitalWrite(IN1, LOW);
        digitalWrite(IN2, HIGH);
    } else {
        digitalWrite(IN1, HIGH);
        digitalWrite(IN2, LOW);
    }

    analogWrite(PWM, constrain(pwm, 0, 255));
}

```

۴-۲. کنترل با Pulse Duration

پس از دیدن نتایج کنترلی بوسیله PWM به این نتیجه رسیدیم که PWM های بالا برای کنترل مناسب نیستند و ثابت کردن مقدار PWM ($PWM=120$) و تغییر دادن Pulse Duration که همان مدت فعال بودن موتور می باشد نتایج smooth تر و پایدارتری دارد.

در این روش کنترل نیز ۲۰۰ میلی ثانیه جهت توقف بین فرمان های کنترلی و یک deadband ۱ سانتی متری قرار می دهیم.

این روش کنترلی نتیجه بهتری داشت اما همچنان در کنترل توپ ناکام بود، چون هنگامی که توپ به سمت پوینت می رسید زاویه دار بودن میله باعث سرخوردن توپ می شد. پس ما به سراغ کنترل زاویه و مکان (کسکید) رفیم.

۴-۳. کنترل کننده کسکید

کنترل کننده کسکید متشکل از یه کنترل کننده داخلی و یک کنترل کننده بیرونی است که کنترل کننده داخلی وظیفه کنترل زاویه میله و کنترل کننده خارجی وظیفه کنترل توپ را دارد.

کنترل کننده خارجی سمت پوینت (مکان توپ) را می گیرد و سمت پوینت کنترل کننده درونی را خروجی می دهد، کنترل کننده درونی سمت پوینت زاویه میله را دریافت می کند (برای مثال اگر مکان

توب خطای منفی داشته باشد به این معنی است که توب ابتدای میله است و کنترل کننده خارجی یک زاویه منفی به عنوان سمت پوینت به کنترل کننده درونی می‌دهد تا میله به پایین خم شود و توب به سمت سمت پوینت برود) و pulse duration را خروجی می‌دهد. نکته حائز اهمیت این روش سریع تربودن کنترل کننده درونی نسبت به کنترل کننده خارجی است.

در این روش نیز ۲۰۰ میلی ثانیه جهت توقف بین فرمان‌های کنترلی و یک deadband ۱ سانتی‌متری قرار دادیم. همچنین یک deadband ۰/۲ درجه‌ای نیز برای زاویه قرار دادیم.

این کنترل کننده در برخی نقاط موفق به کنترل توب با زمان نشست بالای ۲۰ ثانیه می‌شود. این روش، روش نهایی و بهترین نتیجه‌ای بود که ما به آن رسیدیم.

یک دکمه نیز بر روی ستاپ قرار داده شده که جدا از دکمه on-off موتور وضعیت سیستم را تغییر می‌دهد، در حالت اولیه زاویه میله کنترل می‌شود و روی صفر درجه تنظیم می‌شود. در صورت فشردن شدن دکمه کنترل موقعیت توب شروع می‌شود و در صورت دوباره فشردن شدن به حالت قبل برگشته وزاویه میله روی صفر درجه تنظیم می‌شود. در ادامه بخش‌هایی از کد قرار گرفته‌اند.

در ابتدا ضرایب PID و مقدار ثابت PWM و حداقل مقدار pulse duration را تعیین می‌کنیم:

```
PID anglePID(&angleInput, &angleOutput, &anglePIDSetpoint, 13, 0.4, 3, DIRECT);
PID positionPID(&positionInput, &positionOutput, &positionPIDSetpoint, 0.095, 0.0099, 0.09, DIRECT);
const int fixedPWM = 120;
const int maxPulseDuration = 100;
```

تعیین محدوده‌های حرکتی برای میله:

```
anglePID.SetOutputLimits(-maxPulseDuration, maxPulseDuration);
positionPID.SetMode(AUTOMATIC);
positionPID.SetOutputLimits(-5.0, 5.0);
```

و تغییر وضعیت سیستم با توجه به وضعیت دکمه:

```
115 void loop() {
116     bool reading = digitalRead(buttonPin);
117     if (reading != lastReading) {
118         lastDebounceTime = millis();
119     }
120     if ((millis() - lastDebounceTime) > debounceDelay) {
121         if (reading == LOW && buttonState == HIGH) {
122             mode = !mode;
123             safetyStop();
124         }
125         buttonState = reading;
126     }
127
128     lastReading = reading;
129     if (mode != lastMode) {
130         if (mode) {
131             Serial.println("حالت کاسکید فعال: کنترل موقعیت و زاویه");
132         }
133         else {
134             Serial.println("حالت ساده فعال: کنترل زاویه با ست پوینت 0 درجه");
135             anglePIDSetpoint = angleSetpointSimple;
136         }
137         lastMode = mode;
138     }
139     if (mode) {
140         controlCascade();
141     } else {
142         controlAngleSimple();
143     }
144 }
145 }
```

در این تابع کنترل زاویه میله صورت می‌گیرد و سمت پوینت را صفر تنظیم می‌کند:

```
149 void controlAngleSimple() {
150     unsigned long now = millis();
151     anglePIDSetpoint = 0.0;
152
153     if (now - lastSensorRead >= sensorInterval) {
154         float dt = (now - prevMPUTime) / 1000.0;
155         prevMPUTime = now;
156         lastSensorRead = now;
157         readMPU6050(dt);
158     }
159     angleInput = kalAngleY;
160     anglePID.Compute();
161     controlMotor(now);
162
163     if (now - lastPrint >= printInterval) {
164         lastPrint = now;
165         Serial.print("حالت ساده | زاویه: ");
166         Serial.print(kalAngleY, 1);
167         Serial.print("° | خطای:");
168         Serial.print(anglePIDSetpoint - kalAngleY, 1);
169         Serial.print("° | خروجی PID: ");
170         Serial.print(angleOutput, 1);
171         Serial.print(" | مدت پالس: ");
172         Serial.print(abs(angleOutput));
173         Serial.println("ms");
174     }
175 }
```

وموتور بر حسب Pulse Duration کنترل می‌شود:

```
220 void controlMotor(unsigned long now) {
221     if (kalAngleY > -2 && kalAngleY < 10) {
222         if (!motorRunning && abs(kalAngleY - anglePIDSetpoint) > angleTolerance && now - lastControlTime >= controlInterval) {
223             if (angleOutput > 0) {
224                 runMotor(fixedPWM);
225             } else if (angleOutput < 0) {
226                 runMotor(-fixedPWM);
227             }
228             motorStartTime = now;
229             lastControlTime = now;
230             motorRunning = true;
231         }
232
233         if (motorRunning && now - motorStartTime >= abs(angleOutput)) {
234             stopMotor();
235             motorRunning = false;
236         }
237     } else {
238         safetyStop();
239     }
240 }
```